

ضرایب α_i, β_i, \dots را باید www.jarsarjan.blogspot.com در معادلهٔ شرودینگر ۳-۱۶، تا مرتبهٔ اول λ به دست می‌آوریم

$$H_0 \sum_{k \neq n} C_{nk}^{(1)} \sum_i \beta_i \phi_k^{(i)} + H_1 \sum_i \alpha_i \phi_n^{(i)} = E_n^{(1)} \sum_i \alpha_i \phi_n^{(i)} + E_n^0 \sum_{k \neq n} C_{nk}^{(1)} \sum_i \beta_i \phi_k^{(i)} \quad (22-16)$$

از ضرب نرده‌ای $\phi_n^{(j)}$ در رابطه بالا، به معادلهٔ جابه‌جایی مرتبهٔ اول می‌رسیم:

$$\sum_i \alpha_i \langle \phi_n^{(j)} | \lambda H_1 | \phi_n^{(i)} \rangle = \lambda E_n^{(1)} \alpha_j \quad (23-16)$$

این یک مسئلهٔ ویژه‌مقداری با بعد متناهی است. برای مثال، اگر واگنی دوگانه باشد، با استفاده از نمادنگاری

$$\langle \phi_n^{(j)} | H_1 | \phi_n^{(i)} \rangle = h_{ji} \quad (24-16)$$

معادلهٔ ۲۳-۱۶ به صورت زیر درمی‌آید

$$\begin{aligned} h_{11} \alpha_1 + h_{12} \alpha_2 &= E_n^{(1)} \alpha_1 \\ h_{21} \alpha_1 + h_{22} \alpha_2 &= E_n^{(1)} \alpha_2 \end{aligned} \quad (25-16)$$

ویژه‌مقدارها و α_i ها را می‌توان، با اضافه کردن شرط

$$\sum_i |\alpha_i|^2 = 1 \quad (26-16)$$

از معادلهٔ ۲۳-۱۶ به دست آورد. ضرایب β_i را تعیین نمی‌کنیم، زیرا از نظریهٔ اختلال واگن تنها برای ویژه‌مقدارهای انرژی مرتبهٔ اول در کاربردهای آینده استفاده خواهیم کرد. اگر به ازای $i \neq j$ داشته باشیم $h_{ij} = 0$ ، یعنی اگر ماتریس قطری h_{ij} قطری باشد، آنگاه جابه‌جاییهای مرتبهٔ اول همان عناصر قطری این ماتریس خواهند بود. این ماتریس وقتی قطری است که اختلال H_1 با عملگری که ویژه‌مقدارهای آن با نشانهای " i " مشخص می‌شوند جابه‌جا شود. به عنوان مثال، در اتم هیدروژن ویژه‌مقدارهای L_z واگن هستند، یعنی تمام مقادیر m انرژی یکسانی دارند. اگر داشته باشیم

$$[H_1, L_z] = 0 \quad (27-16)$$

و $\phi_n^{(i)}$ ها را ویژه تابعهای L_z www.arsanjan.blogfa.com آنگاه L_z ای اثبات، می نویسیم

$$L_z \phi_n^{(i)} = h m^{(i)} \phi_n^{(i)} \quad (28-16)$$

$$\begin{aligned} \langle \phi_n^{(j)} | [H, L_z] | \phi_n^{(i)} \rangle &= \langle \phi_n^{(j)} | H, J_z - L_z H | \phi_n^{(i)} \rangle \quad (29-16) \\ &= h(m^{(i)} - m^{(j)}) h_{ji} \\ &= 0 \end{aligned}$$

یعنی ۱۶-۲۷ ایجاب می کند که

$$h_{ji} = 0 \quad m^{(i)} \neq m^{(j)} \text{ به ازای} \quad (30-16)$$

بعضی از این ویژگیها را در مثال زیر و بعضی را بعداً در بحث اتم هیدروژن واقعی خواهیم دید.

اثر اشتراک

به عنوان مثالی از کاربرد نظریه اختلال در یک مسئله واقعی، تأثیر میدان الکتریکی خارجی بر ترازهای انرژی اتمهای هیدروژنگونه را بررسی می کنیم. این پدیده را اثر اشتراک می نامند. هامیلتونی نامختل عبارت است از

$$H_0 = \frac{p^2}{2\mu} - \frac{Ze^2}{r} \quad (31-16)$$

که ویژه تابعهای آن را با $\phi_{nlm}(\mathbf{r})$ نشان می دهیم. پتانسیل اختلالی در اینجا به صورت زیر است

$$\lambda H_1 = e \mathcal{E} \cdot \mathbf{r} = e \mathcal{E} z \quad (32-16)$$

که در آن \mathcal{E} میدان الکتریکی است. کمیت $e \mathcal{E}$ همان نقش پارامتر λ را دارد. جابه جایی انرژی حالت پایه، که ناواکن است، با رابطه زیر داده می شود

$$E_{1,0}^{(1)} = e \mathcal{E} \langle \phi_{1,0} | z | \phi_{1,0} \rangle = e \mathcal{E} \int d^3r |\phi_{1,0}(r)|^2 z \quad (33-16)$$

این انتگرال صفر می شود، زیرا مجذور تابع موج تحت پاریته همیشه یک تابع زوج است، و پتانسیل اختلالی تحت انعکاس در اینجا یک تابع فرد است. بنابراین، برای حالت پایه هیچ جابه جایی انرژی وجود ندارد که نسبت به میدان الکتریکی \mathcal{E} خطی باشد. به لحاظ کلاسیک، انرژی دستگاهی که

گشتاور دوقطبی الکتریکی آن d است نه اندازهٔ d - جابه‌جا می‌شود. بدین ترتیب، ۱۶-۳۳ www.arsanjan.blogfa.com نشان می‌دهد که اتم در حالت پایه گشتاور دوقطبی دائمی ندارد. هرگاه هامیلتونی نامختل تحت انعکاس ناوردا باشد می‌توان از استدلال پاریته استفاده کرد، و می‌توان نتیجهٔ بالا را به این حکم تعمیم داد که دستگاهها در حالت‌های ناواگن نمی‌توانند گشتاور دوقطبی دائمی داشته باشند. این حکم ناواگنی مهم است: تنها در این وضعیت است که حالتها ویژه‌حالت‌های عملگر پاریته نیز هستند، و $|\phi(\mathbf{r})|^2$ زوج است و مقدار انتظاری z صفر می‌شود.

بسیاری از مولکولها گشتاور دوقطبی دائمی ندارند، و غالباً گفته می‌شود که این به دلیل واگن بودن حالت‌های پایه است. مقدار انتظاری z در حالتی مانند $\alpha\psi_+ + \beta\psi_-$ ، که در آن شاخصهای پایین نشاندهندهٔ پاریته هستند، مسلماً صفر نیست، و اگر دو حالت ψ_+ و ψ_- انرژی یکسانی داشته باشند حالت مزبور با حالت وارون فضایی آن $\alpha\psi_+ - \beta\psi_-$ واگن خواهد بود. این توضیح کاملاً درست نیست، به این دلیل که حالت‌های پایین هیچگاه کاملاً واگن نیستند. به‌عنوان مثال، مولکولی مانند آمونیم، NH_3 ، را در نظر بگیرید. ساختار این مولکول یک چهاروجهی است که در آن سه هستهٔ H یک مثلث متساوی‌الاضلاع تشکیل می‌دهند. N می‌تواند (بسته به شرط کمینه بودن انرژی) "بالا" یا "پایین" این مثلث باشد. ترکیب‌های خطی زوج و فرد این دو حالت دارای انرژی کاملاً یکسانی نیستند، اگرچه اختلاف انرژی بسیار کوچک (10^{-4} eV) است، و علت آن سد بزرگی است که بین موقعیت‌های "بالا" و "پایین" وجود دارد. بنابراین، به بیان دقیق، حالت پایه ناواگن است. اما اگر d ، که در آن

$$d = e \int \psi_+^* z \psi_- d\tau = -e \int \psi_- z \psi_+ d\tau \quad (۱۶-۳۴)$$

بسیار بزرگتر از این اختلاف کوچک باشد آنگاه جابه‌جایی انرژی برحسب میدان الکتریکی خطی خواهد بود، و مولکول به‌گونه‌ای رفتار می‌کند که انگار گشتاور دوقطبی الکتریکی دارد. اکنون جملهٔ مرتبهٔ دوم را بررسی می‌کنیم، که عبارت است از

$$E_{1..} = e^2 \mathcal{E}^2 \left\{ \sum_{nlm} \frac{|\langle \phi_{nlm} | z | \phi_{1..} \rangle|^2}{E_{1..} - E_n} + \sum_k \frac{|\langle \phi_k | z | \phi_{1..} \rangle|^2}{E_{1..} - \hbar^2 k^2 / 2m} \right\} \quad (۱۶-۳۵)$$

دلیل وجود جملهٔ دوم این است که در ۱۶-۱۶ باید روی مجموعهٔ کاملی از ویژه‌حالت‌های H_0 جمع بزنیم. برای آنها، این مجموعه شامل حالت‌های مقید ϕ_{nlm} و همچنین حالت‌های پیوستاری است که در آنها انرژی الکترون مثبت است. حالت‌های پیوستار را با \mathbf{k} نشانگذاری می‌کنیم، که در اینجا $k = \hbar^2 k^2 / 2m = E$ به انرژی جنبشی مثبت مربوط می‌شود. محاسبهٔ مستقیم این جمع بسیار مشکل است، زیرا متضمن انتگرال روی k است که در جواب‌های پیوستاری نسبتاً پیچیدهٔ مسئله کولن ظاهر می‌شود (این انتگرال را می‌توان با یک فن، که در اینجا بیان نمی‌کنیم، محاسبه کرد).

اما کاری که در اینجا می‌توانیم بکنیم www.arsanjan.blogfa.com با یافتن یک کران بالا برای آن برآورد کرد. رابطه ۱۶-۳۵ را به صورت نمادین تر زیر می‌نویسیم

$$E_{1..} = e^{\epsilon} \mathcal{E}^{\epsilon} \sum_E \frac{\langle \phi_{1..} | z | \phi_E \rangle \langle \phi_E | z | \phi_{1..} \rangle}{E_1 - E} \quad (36-16)$$

که در آن مجموعه کامل را اکنون با ϕ_E نشان داده‌ایم. چون E_1 انرژی حالت پایه است، و تمام انرژیها از آن بیشتر هستند، داریم

$$\frac{1}{E_1 - E} \leq \frac{1}{E_1 - E_1} \quad (37-16)$$

در نتیجه

$$E_{1..} \leq \frac{e^{\epsilon} \mathcal{E}^{\epsilon}}{E_1 - E_1} \sum_E \langle \phi_{1..} | z | \phi_E \rangle \langle \phi_E | z | \phi_{1..} \rangle \quad (38-16)$$

با توجه به اینکه برای یک مجموعه کامل

$$\sum_E |\phi_E\rangle \langle \phi_E| = 1 \quad (39-16)$$

به دست می‌آوریم

$$E_{1..} < \frac{e^{\epsilon} \mathcal{E}^{\epsilon}}{E_1 - E_1} \langle \phi_{1..} | z^2 | \phi_{1..} \rangle \quad (40-16)$$

که می‌توان آن را به سادگی محاسبه کرد. چون حالت پایه تقارن کروی دارد، می‌توان نوشت

$$\begin{aligned} \langle \phi_{1..} | z^2 | \phi_{1..} \rangle &= \langle \phi_{1..} | y^2 | \phi_{1..} \rangle = \langle \phi_{1..} | x^2 | \phi_{1..} \rangle \\ &= \frac{1}{3} \langle \phi_{1..} | r^2 | \phi_{1..} \rangle = a_0^2 \end{aligned} \quad (41-16)$$

که در آن در آخرین مرحله از ۱۲-۳۶ استفاده کرده‌ایم. بنابراین

$$E_{1..} < \frac{\lambda e^{\epsilon} \mathcal{E}^{\epsilon} a_0^2}{3 m c^2 \alpha^2} = \frac{\lambda}{3} \mathcal{E}^{\epsilon} a_0^2 \quad (42-16)$$

توجه کنید که $\int d^3r \mathcal{E}^2$ انرژی $\frac{1}{2} \int d^3r \mathcal{E}^2$ می‌کند که نتیجه باید به صورت $a_0^2 \mathcal{E}^2 \times$ ثابت باشد، زیرا a_0 تنها طول موجود در مسئله است. محاسبهٔ دقیق مرتبهٔ دوم مقدار $\int d^3r \mathcal{E}^2$ را برای ضریب $a_0^2 \mathcal{E}^2$ به دست می‌دهد. برای اتمهای هیدروژنگونه باید a_0/Z را به جای a_0 قرار دهیم.

اگر از این جابه‌جایی انرژی نسبت به میدان الکتریکی مشتق بگیریم رابطه‌ای برای گشتاور دوقطبی به دست می‌آوریم

$$d = -\frac{\partial E_{1,0}}{\partial \mathcal{E}} = -\frac{9}{2} \mathcal{E} a_0^2 \quad (43-16)$$

گشتاور دوقطبی با میدان الکتریکی \mathcal{E} متناسب است، یعنی گشتاور دوقطبی القا شده است. قطبش‌پذیری که با رابطهٔ زیر تعریف می‌شود

$$P = \frac{d}{\mathcal{E}} \quad (44-16)$$

برابر است با $P = 4.5 a_0^2$.

به‌عنوان مثالی از کاربرد نظریهٔ اختلال واگن، اثر اشتراک مرتبهٔ اول (خطی نسبت به \mathcal{E}) را برای حالت‌های $n=2$ در اتم هیدروژن محاسبه می‌کنیم. این حالتها عبارت‌اند از

$$\begin{aligned} \phi_{2,0} &= (2a_0)^{-3/2} 2 \left(1 - \frac{r}{2a_0}\right) e^{-r/2a_0} Y_{0,0} \\ \phi_{2,1} &= (2a_0)^{-3/2} 3^{-1/2} \left(\frac{r}{a_0}\right) e^{-r/2a_0} Y_{1,1} \\ \phi_{2,1,0} &= (2a_0)^{-3/2} 3^{-1/2} \left(\frac{r}{a_0}\right) e^{-r/2a_0} Y_{1,0} \\ \phi_{2,1,-1} &= (2a_0)^{-3/2} 3^{-1/2} \left(\frac{r}{a_0}\right) e^{-r/2a_0} Y_{1,-1} \end{aligned} \quad (45-16)$$

حالت $l=0$ پاریتهٔ زوج و حالت $l=1$ پاریتهٔ فرد دارد. می‌خواهیم معادله‌ای مانند ۲۳-۱۶ را حل کنیم، و ظاهراً با چهار معادله سروکار داریم. اما اگر توجه کنیم که اولاً پتانسیل اختلالی (یعنی \tilde{V}) با L_z جابه‌جا می‌شود و در نتیجه تنها حالت‌هایی را به هم مربوط می‌کند که دارای مقدار یکسان m هستند، و ثانیاً ملاحظات پاریته باعث می‌شود تنها جمله‌هایی را در نظر بگیریم که در آنها پتانسیل اختلالی حالت $l=1$ را به $l=0$ مربوط می‌کند، یعنی

$$\langle \phi_{2,1,\pm 1} | z | \phi_{2,1,\pm 1} \rangle = 0 \quad (46-16)$$

آنگاه می‌بینیم که در ۱۶-۳ www.darsanjan.blogfa.com واقع، معادله عبارت است از

$$e^{\mathcal{E}} \begin{pmatrix} \langle \phi_{200} | z | \phi_{200} \rangle & \langle \phi_{200} | z | \phi_{210} \rangle \\ \langle \phi_{210} | z | \phi_{200} \rangle & \langle \phi_{210} | z | \phi_{210} \rangle \end{pmatrix} \begin{pmatrix} \alpha_1 \\ \alpha_2 \end{pmatrix} = E^{(1)} \begin{pmatrix} \alpha_1 \\ \alpha_2 \end{pmatrix} \quad (47-16)$$

عناصر قطری به علت پارامتر صفر هستند، و عناصر غیرقطری با هم برابرند، زیرا همیوگ مختلط یکدیگر هستند و هر یک از آنها را می‌توان حقیقی گرفت. داریم

$$\begin{aligned} \langle \phi_{200} | z | \phi_{210} \rangle &= \int_0^\infty r^2 dr (2a_0)^{-2} e^{-r/a_0} \frac{2r}{\sqrt{3}a_0} \left(1 - \frac{r}{2a_0}\right) r \\ &\cdot \int d\Omega Y_{00}^* (\sqrt{4\pi/3} Y_{10}) Y_{10} \\ &= -2a_0 \end{aligned} \quad (48-16)$$

و در نتیجه ۱۶-۴۷ به صورت زیر درمی‌آید

$$\begin{pmatrix} -E^{(1)} & -2e\mathcal{E}a_0 \\ -2e\mathcal{E}a_0 & -E^{(1)} \end{pmatrix} \begin{pmatrix} \alpha_1 \\ \alpha_2 \end{pmatrix} = 0 \quad (49-16)$$

ویژه‌مقدارهای این ماتریس عبارت‌اند از

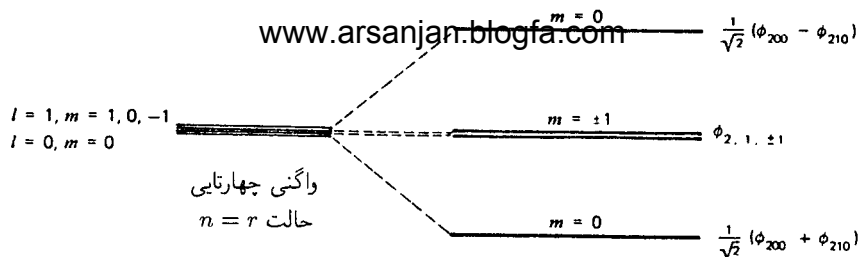
$$E^{(1)} = \pm 2e\mathcal{E}a_0 \quad (50-16)$$

و ویژه‌حالت‌های بهنجارشده مربوط به صورت زیر هستند

$$\frac{1}{\sqrt{2}} \begin{pmatrix} 1 \\ -1 \end{pmatrix} \quad \text{و} \quad \frac{1}{\sqrt{2}} \begin{pmatrix} 1 \\ 1 \end{pmatrix}$$

بدین ترتیب، در اثر اشتراک خطی برای حالت‌های $n = 2$ ترازهای واگن مطابق شکل ۱۶-۱ شکافته می‌شوند.

نقش شکافتگی شکل ۱۶-۱ را می‌توان به صورت کیفی درک کرد. توزیع بار الکترون برای $\phi_{2,1,\pm 1}$ با $|\phi_{2,1,\pm 1}|^2$ داده می‌شود و وابستگی زاویه‌ای به صورت $\sin^2 \theta$ است. بنابراین، بار به صورت پره‌هایی در صفحه xy توزیع شده است که حول محور z تقارن استوانه‌ای دارند. گشتاور دوقطبی وجود ندارد، زیرا بار مثبت در مبدأ است، و در نتیجه جمله $\mathbf{d} \cdot \mathbf{E}$ صفر می‌شود. از طرف



شکل ۱۶-۱ نقش شکافتگی اشتراک برای اتم هیدروژن در حالت $m = 2$. اختلال تا اندازه‌ای واگنی چهارتابی را از میان می‌برد. حالت‌های $m = \pm 1$ واگن باقی می‌مانند و در اثر اشتراک جابه‌جا نمی‌شوند.

دیگر، ترکیب‌های خطی $\phi_{200} \pm \phi_{210}$ توزیع‌های باری به صورت $A + B \cos^2 \theta + C \cos \theta$ به وجود می‌آورند. جمله‌ای که علامت به اضافه دارد توزیع بار الکترون را در جهت مثبت z منتقل می‌کند، و در نتیجه گشتاور دوقطبی در جهت مثبت z ، موازی با میدان E ، است. بنابراین، $-\mathbf{d} \cdot \mathbf{E}$ منفی است، و انرژی کم می‌شود. جمله‌ای که علامت منها دارد باعث افزایش انرژی می‌شود، و این با نتیجهٔ محاسبه سازگار است.

نتیجهٔ محاسبات بالا را می‌توان به صورت کلی زیر خلاصه کرد.

(الف) در حضور میدان الکتریکی، حالت‌ها دیگر ویژه‌حالت‌های L^2 نیستند. به عنوان مثال، برای مورد بالا دیدیم حالت‌هایی که اختلال را قطری می‌کنند مخلوط‌هایی مساوی از $l = 1$ و $l = 0$ هستند، اگرچه هنوز ویژه‌حالت‌های L_z هستند. علت آن است که اختلال هامیلتونی را تغییر می‌دهد، و در نتیجه دیگر با L^2 جابه‌جا نمی‌شود. این را می‌توان به تفصیل بررسی کرد، اما در واقع آشکار است که میدان خارجی راستای متمایزی را مشخص می‌کند، و از این رو دستگاه فیزیکی تحت چرخش‌های اختیاری دیگر ناوردا نیست، اما هنوز هم تحت چرخش حول محور متمایز، در اینجا z ، ناوردا است؛ بنابراین، L_z باز هم ثابت خوبی برای حرکت است.

(ب) عموماً، هرگاه اختلالی وجود داشته باشد که کمیتی را (به عنوان مثال، در اینجا L^2) پایسته نگه ندارد آنگاه حالت‌هایی که هامیلتونی جدید را در هر تقریبی "قطری می‌کنند" برهم‌نشین‌هایی از حالت‌هایی با مقادیر مختلف اعداد کوانتومی هستند که قبلاً پایسته بودند، و در نتیجه ترازهای واگن شکافته می‌شوند.

(ج) نظریهٔ اختلال واگن را می‌توان به زبان ماتریسی به صورت زیر خلاصه کرد. اگر H_0 قطری باشد اما H_1 نباشد، آنگاه از آنجا که H_1 و H_0 جابه‌جا نمی‌شوند نمی‌توان H_1 را به خودی خود، بدون "غیرقطری کردن" H_0 ، قطری کرد. باید با تمام هامیلتونی

$$H = H_0 + H_1$$

کار کنیم. اگر با زیرمجموعهٔ حالت‌های واگن، که ویژه‌حالت‌های H_0 با ویژه‌مقدار یکسان هستند، کار

کنیم آنگاه تا آنجا که به این www.afsanjan.blogfa.com قطری است بلکه با ماتریس واحد متناسب است. چون H_1 (و هر چیز دیگر) با ماتریس واحد جابه‌جا می‌شود، می‌توان H_1 را به‌خودی خود، بدون تأثیر بر H_0 ، قطری کرد.

اتمهای هیدروژنگونه‌ای که در اینجا در نظر گرفتیم تا اندازه‌ای ایده‌آلی هستند. چنانکه در فصل ۱۷ خواهیم دید، اثرهای نسبیتی و جفت‌شدگی اسپین-مدار کوچکی وجود دارند که بعضی از واکنیها را عملاً از بین می‌برند. بنابراین، آیا نیازی به استفاده از نظریهٔ اختلال واگن نداریم؟ واقع، حتی اگر مثلاً ϕ_{200} و ϕ_{210} انرژی کاملاً یکسانی نداشته باشند، باز هم می‌توان ترکیب آنها را در بسط اختلال به‌کاربرد. برای مثال، اگر داشته باشیم

$$H_0 \phi_{200} = (E_2^0 - \Delta) \phi_{200} \quad (51-16)$$

$$H_0 \phi_{210} = (E_2^0 + \Delta) \phi_{210}$$

که در آنها Δ کوچک است آنگاه معادلهٔ شرودینگر با ترکیبهای خطی به‌صورت زیر در می‌آید

$$\begin{aligned} (H_0 + \lambda H_1) \left(\alpha_1 \phi_{200} + \alpha_2 \phi_{210} + \lambda \sum_{n \neq 2} C_n \phi_n \right) \\ = E \left(\alpha_1 \phi_{200} + \alpha_2 \phi_{210} + \lambda \sum_{n \neq 2} C_n \phi_n \right) \end{aligned} \quad (52-16)$$

از ضرب نرده‌ای ϕ_{200} و ϕ_{210} در این معادله، تا مرتبهٔ λ به معادله زیر می‌رسیم

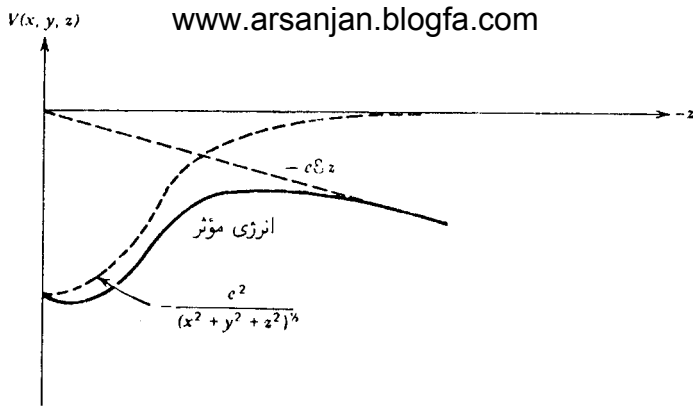
$$\begin{pmatrix} E_2^0 - \Delta - \langle \phi_{200} | \lambda H_1 | \phi_{200} \rangle & \langle \phi_{200} | \lambda H_1 | \phi_{210} \rangle \\ \langle \phi_{210} | \lambda H_1 | \phi_{200} \rangle & E_2^0 + \Delta - \langle \phi_{210} | \lambda H_1 | \phi_{210} \rangle \end{pmatrix} \begin{pmatrix} \alpha_1 \\ \alpha_2 \end{pmatrix} = E \begin{pmatrix} \alpha_1 \\ \alpha_2 \end{pmatrix} \quad (53-16)$$

اگر بنویسیم

$$\langle \phi_{r..} | \lambda H_1 | \phi_{r..} \rangle = \langle \phi_{r1..} | \lambda H_1 | \phi_{r..} \rangle = a\lambda \quad (54-16)$$

با توجه به اینکه $\langle \phi_{210} | H_1 | \phi_{210} \rangle = \langle \phi_{2..} | H_1 | \phi_{2..} \rangle$ ، باید ویژه‌مقدارهای ماتریس زیر را به‌دست آوریم

$$\begin{pmatrix} E_2^0 - \Delta & \lambda a \\ \lambda a & E_2^0 + \Delta \end{pmatrix} \quad (55-16)$$



شکل ۱۶-۲ نمودار انرژی پتانسیل برحسب z با مقادیر ثابت r و l . خط نقطه چین پتانسیل کولنی، خط چین انرژی پتانسیل ناشی از میدان خارجی، و خط پر انرژی کل را نشان می‌دهد.

این ویژه‌مقادیر عبارت‌اند از

$$E = E_0 \pm \sqrt{a^2 \lambda^2 + \Delta^2} \quad (۱۶-۵۶)$$

می‌بینیم که وقتی $a\lambda \gg \Delta$ ، تنها یک اثر "درجهٔ دوم" به دست می‌آید. این نتیجه به واکنشی مربوط نیست. وقتی $a\lambda \ll \Delta$ ، نتیجه‌ای به صورت $۱۶-۵۰$ به دست می‌آید. در ناحیهٔ میانی، روش دقیقتر بالا ضروری است. به علاوه، اگر از ترکیبهای خطی جدید استفاده کنیم آنگاه در نظریهٔ اختلال مرتبهٔ دوم دیگر اختلافهای انرژی بسیار کوچک در مخرج کسرها ظاهر نمی‌شوند. این موضوع را به تفصیل بررسی نمی‌کنیم، اما اثبات آن مشکل نیست.

به عنوان آخرین نکته، دو واقعیت ظاهراً متناقض را متذکر می‌شویم. (۱) آزمایش پیش‌بینیهای نظریهٔ اختلال را برای اثر اشتراک کاملاً تأیید می‌کند، و (۲) رشتهٔ اختلال بی‌تردید واگرا است، زیرا پتانسیل اختلالی $\sim eEz$ هر قدر هم که eE کوچک باشد وقتی z بسیار بزرگ می‌شود بدون کران افزایش می‌یابد. با توجه به اینکه یک رشتهٔ به لحاظ ریاضی واگرا را می‌توان از نو چنان مرتب کرد که بسطهای کاملاً مختلفی به دست آیند، این سؤال پیش می‌آید که آیا می‌توانیم دقت چند جملهٔ اول چنین رشته‌ای را قابل اعتماد بدانیم؟ پاسخ در فیزیک مسئله است نه در ریاضیات آن. علت واگرایی را می‌توان در شکل ۱۶-۲ دید، که در آن تصویری تقریبی از پتانسیل کل به ازای مقادیر ثابت r و l داده شده است. چنانکه دیده می‌شود، سدی برای الکترون مقید ایجاد شده است. این سد در نهایت نفوذپذیر است، اگرچه به ازای مقادیر کوچک eE بسیار پهن است. آنچه واگرایی ریاضی رشته باعث آن است امکان این است که به عنوان مثال الکترون حالت پایه با احتمالی متناهی (اگرچه بسیار بسیار کوچک) به اندازهٔ کافی دور از هسته یافت شود، یعنی جایی که میدان

الکتریکی خارجی قویتر از میدان کوانتوم است و الکترون را جدا می‌کند. بنابراین، ترازهای انرژی "جابه‌جاشده" جدید اتم هیدروژن دیگر حالت‌های پایا نیستند بلکه حالت‌های شبه‌پایدار هستند. اما اگر میدان ضعیف باشد این حالتها می‌توانند در یک مقیاس زمانی از مرتبه سن جهان پایدار باشند^۱ و در نتیجه مشاهدات با آنچه چند جمله اول رشته اختلال پیش‌بینی می‌کنند توافق کامل دارند.

مسائل

۱-۱۶ ✓ $C_{nk}^{(\gamma)}$ را محاسبه کنید و با استفاده از آن رابطه‌ای برای $E_n^{(\gamma)}$ به دست آورید.
 ۲-۱۶ ✓ اتم هیدروژن را در نظر بگیرید و فرض کنید پروتون به جای اینکه یک چشمه نقطه‌ای برای میدان کولنی باشد یک کره باردار بکناخت به شعاع R است، و در نتیجه پتانسیل کولنی اکنون به صورت زیر است

$$V(r) = -\frac{3e^2}{2Rr} \left(R^2 - \frac{1}{3}r^2 \right) \quad r < R (\ll a_0)$$

$$= -\frac{e^2}{r} \quad r > R$$

جابه‌جایی انرژی ناشی از این تغییر را برای حالت $n = 1$ و $n = 2$ ، و برای حالت‌های $n = 2$ با استفاده از توابع موج ۱۲-۳۰ محاسبه کنید.
 ۳-۱۶ ✓ اگر به هامیلتونی نوسانگر هماهنگ یک‌بعدی

$$H = \frac{p^2}{2m} + \frac{1}{2}m\omega^2 x^2$$

اختلال

$$V = \lambda x^4$$

اضافه شود، جابه‌جایی انرژی در حالت پایه را به دست آورید.
 ۴-۱۶ ✓ کف یک چاه نامتناهی را به صورت زیر تغییر داده‌ایم

$$V(x) = \epsilon \sin \frac{\pi x}{b} \quad 0 \leq x \leq b$$

۱. در واقع، یک محاسبه ساده نفوذ در سد از نوعی که در فصل ۵ انجام دادیم نشان می‌دهد که این مقیاس زمانی برای میدانهای معمولی چیزی نزدیک به 10^{10} برابر طول عمر جهان است!

انرژی
 اصل

جابه‌جایی انرژی تمام حالتها را نگه‌داری تا مرتبه اول برحسب ϵ محاسبه کنید. توجه کنید که جابه‌جایی در اصل به صورت $V(x) = 0$ برای $0 \leq x \leq b$ و $V = \infty$ در جاهای دیگر است. ۵-۱۶ قاعدهٔ جمع توماس-رایشم-کوهن را اثبات کنید:

$$\sum_n (E_n - E_a) |\langle n|x|a \rangle|^2 = \frac{\hbar^2}{2m}$$

[راهنمایی: (الف) رابطهٔ جابه‌جایی $[p, x] = \hbar/i$ را به صورت زیر بنویسید]

$$\sum_n \left\{ \langle a|p|n \rangle \langle n|x|a \rangle - \langle n|p|a \rangle \right\} = \frac{\hbar}{i} \langle a|a \rangle = \frac{\hbar}{i}$$

(ب) از رابطه

$$\langle a|p|n \rangle = \left\langle a \left| m \frac{dx}{dt} \right| n \right\rangle = m \frac{i}{\hbar} \langle a|[H, x]|n \rangle$$

در حل مسئله استفاده کنید.]

۶-۱۶ قاعدهٔ جمع مسئلهٔ ۵-۱۶ را برای نوسانگر هماهنگ یک‌بعدی، با فرض اینکه $|a\rangle$ حالت پایه است، و ارسی کنید.

۷-۱۶ اثر آشپارک مرتبهٔ اول را در حالت $n = 3$ اتم هیدروژن محاسبه کنید. محاسبهٔ همهٔ انتگرالها لازم نیست، بلکه فقط ترکیب خطی درست حالتها را به دست آورید. آیا می‌توانید دربارهٔ نقش جابه‌جاییهای انرژی توضیحی کیفی بدهید؟

۸-۱۶ الکترونی را در پتانسیل نوسانگر هماهنگ یک‌بعدی $m\omega^2 x^2/2$ در نظر بگیرید که در یک میدان الکتریکی قرار گرفته است که در جهت x است. جابه‌جاییهای انرژی مرتبهٔ اول و دوم را حساب کنید. جواب خود را با مقدار دقیق جابه‌جایی انرژی، که در این مورد می‌توانید به دست آورید، مقایسه کنید.

۹-۱۶ یک نوسانگر هماهنگ دوبعدی را در نظر بگیرید که با هامیلتونی زیر توصیف می‌شود ✓

$$H = \frac{1}{2m} (p_x^2 + p_y^2) + \frac{1}{2} m\omega^2 (x^2 + y^2)$$

با تعمیم رهیافت فصل ۷ جوابهای این مسئله را برحسب عملگرهای افزایشده که بر حالت پایه اثر می‌کنند تعیین کنید. جابه‌جایی انرژی حاصل از اختلال

$$V = 2\lambda xy$$

را در حالت پایه و در اولین حالت‌های پانگ‌خته‌ها و لگت با استفاده از نظریه اختلال مرتبه اول به دست آورید. آیا می‌توانید این نتیجه را بسیار ساده تعبیر کنید؟ جواب دقیق مسئله را به دست آورید، و آن را با جابه‌جایی حاصل از محاسبه اختلال مرتبه دوم مقایسه کنید.

۱۶۷-۱۰ هامیلتونی زیر را در نظر بگیرید

$$H = \begin{pmatrix} E_0 & 0 \\ 0 & -E_0 \end{pmatrix} + \lambda \begin{pmatrix} \alpha & U \\ U^* & \beta \end{pmatrix}$$

(الف) جابه‌جایی انرژی را تا مرتبه اول و دوم λ محاسبه کنید. نتیجه‌های خود را با ویژه‌مقدارهای دقیق مقایسه کنید.

(ب) فرض کنید $V \neq U^*$ جانشین U^* شود. نشان دهید ویژه‌حالت‌های هامیلتونی جدید ناهرمیتی که متناظر با ویژه‌مقدارهای متفاوت‌اند دیگر متعامد نیستند. (در این قسمت از مسئله برای ساده شدن کار می‌توانید فرض کنید $\alpha = \beta = 0$.)

۱۶-۱۱ ذره‌ای با بار q و پادذره آن (با بار $-q$ و همان جرم) را در نظر بگیرید که از طریق یک پتانسیل کولنی برهم‌کنش می‌کنند. اگر پتانسیل با افزودن جمله $V_1 = Kr$ تغییر کند، ترازهای انرژی پایین چقدر جابه‌جا می‌شوند.

[راهنمایی: از رابطه ۱۲-۳۰ استفاده کنید.]

۱۶-۱۲ هامیلتونی الکترون یک اتم هیدروژن در میدان مغناطیسی ثابت \mathbf{B} با نادیده گرفتن اسپین به صورت زیر است

$$H = \frac{\mathbf{p}^2}{2m} - \frac{e^2}{r} + \left(\frac{e}{2mc} \right) \mathbf{L} \cdot \mathbf{B}$$

که در آن \mathbf{L} عملگر تکانه زاویه‌ای است. در غیاب میدان مغناطیسی، تنها یک خط در گذار از تراز $(n=4, l=3)$ به تراز $(n=3, l=2)$ وجود دارد. میدان مغناطیسی چه تأثیری بر این خط دارد؟ طیف جدید و گذارهای ممکن را با توجه به قید قاعده‌های گزینش $\Delta l_z = \pm 1, 0$ ترسیم کنید. چند خط وجود دارد؟ تأثیر یک میدان الکتریکی ثابت \mathbf{E} موازی با \mathbf{B} چه خواهد بود؟

مراجع

مثال‌های بسیاری از کاربرد نظریه اختلال مرتبه اول در کتاب‌های درسی یافت می‌شوند، و مراجعی که فهرست آنها در پایان این کتاب آمده است می‌توانند منبعی از مثال‌های بیشتر باشند. برای بحث درباره محاسبه اثر اشتراک مرتبه دوم، نگاه کنید به

S Borowitz, *Fundamentals of Quantum Mechanics*, W A Benjamin, New York, 1967.



اتم هیدروژن واقعی

بحث اتمهای هیدروژن‌گونه در فصل ۱۲ مبتنی بر هامیلتونی زیر بود

$$H_0 = \frac{\mathbf{p}^2}{2\mu} - \frac{Ze^2}{r} \quad (1-17)$$

در یک بررسی واقع‌بینانه‌تر، چندین تصحیح را باید به حساب آوریم. بررسی حرکت پروتون را کنار می‌گذاریم، و در نتیجه بحث اثرات نسبیتی و اثرات اسپین را با مسائل سینماتیک ساده مربوط به حرکت پروتون مخلوط نمی‌کنیم. در بررسی اولیه فصل ۱۲، با $\mathbf{p} = \mathbf{p}_e = -\mathbf{p}_p$ در چارچوب مرکز جرم داشتیم

$$K = \frac{\mathbf{p}_e^2}{2m_e} + \frac{\mathbf{p}_p^2}{2M_p} = \frac{1}{2} \mathbf{p}^2 \left(\frac{1}{m_e} + \frac{1}{M_p} \right) \equiv \frac{\mathbf{p}^2}{2\mu}$$

جرم کاهش‌یافته μ با جرم الکترون در اتم هیدروژن تفاوت بسیار کمی دارد:

$$\frac{\mu}{m_e} \approx 1 - \frac{m_e}{M_p} \approx 1 - 5.4 \times 10^{-4}$$

در بحث تصحیح طیفی که در www.arsanjan.blogfa.com را بینهایت می‌گیریم و اثر حرکت آن‌را در بخش دیگری بررسی خواهیم کرد.

اثرات انرژی جنبشی نسبیتی

رابطه نسبیتی برای انرژی جنبشی الکترون عبارت است از

$$K = \sqrt{(\mathbf{p}c)^2 + (m_e c^2)^2} - m_e c^2 \approx \frac{p^2}{2m_e} - \frac{1}{8} \frac{(p^2)^2}{m_e^2 c^2} + \dots \quad (2-17)$$

جمله دوم،

$$H_1 = -\frac{1}{8} \frac{(p^2)^2}{m_e^2 c^2} \quad (3-17)$$

را با نظریه اختلال بررسی خواهیم کرد. می‌توان تأثیر نسبی آن‌را روی ویژه‌مقدار انرژی برآورد کرد، زیرا

$$\frac{\langle H_1 \rangle}{\langle H_0 \rangle} \approx \frac{p^2}{m_e^2 c^2} \approx (Z\alpha)^2 = (0.53 \times 10^{-2}) Z^2 \quad (4-17)$$

بنابراین، اثر نسبیتی به اندازه یک مرتبه بزرگی از اثر جرم کاهیده کوچکتر است. تصحیح‌های جرم کاهیده بر جمله نسبیتی برای هیدروژن بسیار کوچک است، و درباره آنها بعداً بحث خواهیم کرد.

جفت‌شدگی اسپین-مدار

وجود اسپین الکترون موجب تصحیح دیگری از همان مرتبه بزرگی می‌شود. این اثر را می‌توان به لحاظ کیفی به صورت زیر بیان کرد: اگر الکترون نسبت به پروتون ساکن بود (این بحث مبتنی بر دیدگاه کلاسیک است) تنها یک میدان الکتریکی ناشی از بار پروتون را "می‌دید". این همان جمله پتانسیل کولنی است که در H_0 ظاهر می‌شود. چون الکترون حرکت می‌کند، اثرهای دیگر نیز وجود دارند. در چارچوب سکون الکترون، پروتون در حرکت است، و در نتیجه یک جریان برقرار است و الکترون یک میدان مغناطیسی "می‌بیند". اگر این حرکت نسبی راست‌خط بود، میدان مغناطیسی از دیدگاه الکترون $\mathbf{v} \times \mathbf{E}/c$ می‌شد. این میدان مغناطیسی با اسپین الکترون، یا به بیان دقیقتر با گشتاور مغناطیسی الکترون، برهم‌کنش می‌کند.

الکترون دارای گشتاور مغناطیسی M است که با $\frac{eg}{2m_e c}$ داده می‌شود:

$$M = -\frac{eg}{2m_e c} S$$

و در نتیجه جمله اضافی مورد نظر باید به صورت زیر باشد

$$\begin{aligned} -M \cdot B &= \frac{eg}{2m_e c} S \cdot B = -\frac{e}{m_e c^2} S \cdot v \times E \\ &= \frac{e}{m_e^2 c^2} S \cdot p \times \nabla \phi(r) \\ &= \frac{e}{m_e^2 c^2} S \cdot p \times r \frac{1}{r} \frac{d\phi(r)}{dr} \quad (5-17) \\ &= -\frac{e}{m_e^2 c^2} S \cdot L \frac{1}{r} \frac{d\phi(r)}{dr} \end{aligned}$$

که در آن $\phi(r)$ پتانسیل ناشی از بار هسته است، و g را برابر با ۲ گرفته‌ایم. در واقع، نتیجه بالا درست نیست. ثابت می‌شود که اثرات نسبیتی ناشی از این واقعیت که الکترون بر خط راست حرکت نمی‌کند (اثر حرکت تقدیمی توماس) باعث می‌شوند که نتیجه بالا با ضریب ۲ کاهش یابد. بنابراین، اختلال درست عبارت است از

$$H_2 = -\frac{1}{2m_e^2 c^2} S \cdot L \frac{1}{r} \frac{d[e\phi(r)]}{dr} \quad (6-17)$$

اکنون با استفاده از نظریه اختلال مرتبه اول تأثیر H_1 و H_2 را بر طیف اتمهای هیدروژنگونه محاسبه می‌کنیم. با چشمپوشی از اثرات جرم کاهیده، می‌توان H_1 را به صورت زیر نوشت

$$\begin{aligned} H_1 &= -\frac{1}{\hbar} \frac{(p^r)^2}{m_e^2 c^2} = -\frac{1}{2m_e c^2} \left(\frac{p^r}{m} \right)^2 \\ &= -\frac{1}{2m_e c^2} \left(H_0 + \frac{Zc^2}{r} \right) \left(H_0 + \frac{Zc^2}{r} \right) \quad (7-17) \end{aligned}$$

$$\begin{aligned}
 \langle \phi_{nlm} | H_1 | \phi_{nlm} \rangle &= -\frac{1}{2m_e c^2} \left\langle \phi_{nlm} \left| \left(H_0 + \frac{Ze^2}{r} \right) \left(H_0 + \frac{Ze^2}{r} \right) \right| \phi_{nlm} \right\rangle \\
 &= -\frac{1}{2m_e c^2} \left[E_n^2 + 2E_n Ze^2 \left\langle \frac{1}{r} \right\rangle_{nl} + (Ze^2)^2 \left\langle \frac{1}{r^2} \right\rangle_{nl} \right] \\
 &= -\frac{1}{2m_e c^2} \left\{ \left[\frac{m_e c^2 (Z\alpha)^2}{2n^2} \right]^2 - 2Ze^2 \frac{m_e c^2 (Z\alpha)^2}{2n^2} \left(\frac{Z}{a_0 n^2} \right) \right. \\
 &\quad \left. + (Ze^2)^2 \frac{Z^2}{a_0^2 n^2 (l + 1/2)} \right\} \quad (8-17) \\
 &= -\frac{1}{2} m_e c^2 (Z\alpha)^2 \left[\frac{(Z\alpha)^2}{n^2 (l + 1/2)} - \frac{3(Z\alpha)^2}{2n^2} \right]
 \end{aligned}$$

در این محاسبات از ۱۲-۳۶ برای کمیت‌های زیر استفاده کرده‌ایم

$$\left\langle \frac{1}{r} \right\rangle_{nl} \equiv \left\langle \phi_{nlm} \left| \frac{1}{r} \right| \phi_{nlm} \right\rangle \quad \text{و} \quad \left\langle \frac{1}{r^2} \right\rangle_{nl} \equiv \left\langle \phi_{nlm} \left| \frac{1}{r^2} \right| \phi_{nlm} \right\rangle$$

اسپین الکترون در این جابه‌جایی انرژی وارد نمی‌شود، زیرا H_1 بستگی به اسپین ندارد؛ اما H_2 به اسپین بستگی دارد، و برای توابع موج نامختل باید توابع موج دو مؤلفه‌ای را در نظر بگیریم، زیرا چیزی که می‌خواهیم محاسبه کنیم مقدار انتظاری کمیت زیر است

$$-\frac{1}{2m_e c^2} \mathbf{S} \cdot \mathbf{L} \frac{1}{r} \frac{d\phi(r)}{dr} = \frac{Ze^2}{2m_e c^2} \mathbf{S} \cdot \mathbf{L} \frac{1}{r^2} \quad (9-17)$$

در اینجا باز هم با مثالی از نظریهٔ اختلال واگن روبرو هستیم. به‌ازای یک مقدار معین n و l ، با توجه به اینکه دو حالت برای اسپین داریم، $2(2l + 1)$ ویژه‌حالت واگن مربوط به H_0 وجود دارند. بنابراین، در محاسبهٔ جابه‌جایی انرژی قطری کردن یک زیرماتریس، همچون ۱۶-۲۳، وارد می‌شود. با توجه به اینکه از

$$\mathbf{S} + \mathbf{L} = \mathbf{J}$$

$$\mathbf{S}^z + 2\mathbf{S} \cdot \mathbf{L} + \mathbf{L}^z = \mathbf{J}^z$$

یعنی

$$\mathbf{S} \cdot \mathbf{L} = \frac{1}{4}(\mathbf{J}^z - \mathbf{L}^z - \mathbf{S}^z) \quad (11-17)$$

می‌توان محاسبه را بسیار ساده‌تر کرد. بنابراین، اگر ویژه‌تابعهای واگن را به صورت ترکیب‌هایی خطی درآوریم که ویژه‌تابعهای \mathbf{J}^z باشند (آنها هم‌اکنون نیز ویژه‌تابعهای $S_z = L_z + S_z$ هستند) آنگاه این ترکیب‌های خطی H_2 را قطری می‌کنند. ترکیب‌های خطی مناسب را به صورت رابطه‌های ۱۵-۳۸ و ۱۵-۳۹ در فصل ۱۵ به دست آورده‌ایم. با این ترکیب‌های خطی داریم

$$\begin{aligned} \mathbf{S} \cdot \mathbf{L} \psi_{\substack{j=l+(1/2) \\ m_j=m+(1/2)}} &= \frac{1}{4} (\mathbf{J}^z - \mathbf{L}^z - \mathbf{S}^z) \psi_{\substack{j=l+(1/2) \\ m_j=m+(1/2)}} \\ &= \frac{1}{4} h^2 \left[\left(1 + \frac{1}{4}\right) \left(l + \frac{3}{4}\right) - l(l+1) - \frac{3}{4} \right] \psi_{\substack{j=l+(1/2) \\ m_j=m+(1/2)}} \\ &= \frac{1}{4} h^2 l \psi_{\substack{j=l+(1/2) \\ m_j=m+(1/2)}} \end{aligned} \quad (12-17)$$

و

$$\begin{aligned} \mathbf{S} \cdot \mathbf{L} \psi_{\substack{j=l-(1/2) \\ m_j=m+(1/2)}} &= \frac{1}{4} h^2 \left[\left(l - \frac{1}{4}\right) \left(l + \frac{1}{4}\right) - l(l+1) - \frac{3}{4} \right] \psi_{\substack{j=l-(1/2) \\ m_j=m+(1/2)}} \\ &= -\frac{1}{4} h^2 (l+1) \psi_{\substack{j=l-(1/2) \\ m_j=m+(1/2)}} \end{aligned} \quad (13-17)$$

به‌ازای یک مقدار معین l ، $[2(l - 1/2) + 1]$ و $[2(l + 1/2) + 1]$ حالت وجود دارند. آنچه رخ داده است این است که حالت‌های واگن تنها از نو مرتب شده‌اند، اما دو گروه حاصل از این حالتها تحت کنش H_2 رفتاری متفاوت دارند. اگر ترکیب‌های خطی را $\phi_{j m, l}$ بنامیم، آنگاه به‌ازای

www.arsanjan.blogfa.com می‌آوریم $j = l \pm 1/2$ به دست

$$\langle \phi_{jm,l} | H_r | \phi_{jm,l} \rangle = \frac{Ze^r}{2m_e c^r} \frac{\hbar^r}{2} \left\{ \begin{matrix} l \\ -l - 1 \end{matrix} \right\} \times \int_0^\infty dr r^r [R_{nl}(r)]^r \frac{1}{r^r} \quad (14-17)$$

را می‌توان محاسبه کرد، و نتیجه عبارت است از

$$\left\langle \frac{1}{r^r} \right\rangle_{nl} = \frac{Z^r}{a_0^r} \frac{1}{n^r l(l+1/2)(l+1)} \quad (15-17)$$

که به‌ازای $l \neq 0$ معتبر است. توجه کنید که در اینجا

$$a_0 = \frac{\hbar}{\mu c \alpha}$$

زیرا با ویژه‌حالت‌هایی از H_0 سروکار داریم که در آنها جرم کاهیده الکترون به‌کار می‌رود. بدین ترتیب، برای جابه‌جایی انرژی، به‌ازای $l \neq 0$ ، به‌دست می‌آوریم

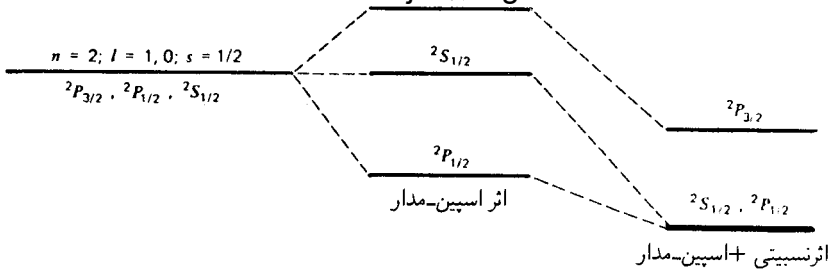
$$\Delta E = \frac{1}{4} m_e c^r (Z\alpha)^r \frac{\left\{ \begin{matrix} l \\ -l - 1 \end{matrix} \right\}}{n^r l(l+1/2)(l+1)} \quad (16-17)$$

از ترکیب اثرات H_1 و H_2 پس از محاسبه به‌رابطه زیر می‌رسیم

$$\Delta E = -1/2 m_e c^r (Z\alpha)^r \frac{1}{n^r} \left[\frac{1}{j+1/2} - \frac{3}{4n} \right] \quad (17-17)$$

که برای هر دو مقدار $l = j \pm 1/2$ برقرار است. با استفاده از معادله نسبتی دیراک می‌توان نشان داد که نتیجه بالا به‌ازای $l = 0$ نیز درست است، اگرچه حاصلضرب در ۱۷-۱۴ کاملاً معین نیست.

نمودار شکافتگی حالتها در شکل ۱۷-۱ نشان داده شده است. یک نتیجه بسیار جالب این است که تصحیحا به‌گونه‌ای با هم جمع می‌شوند که حالت‌های $^2S_{1/2}$ و $^2P_{1/2}$ واگن باقی می‌مانند. بحث دقیقتر بر اساس معادله نسبتی دیراک این نتیجه را تغییر نمی‌دهد. در سال ۱۹۴۷، لمب و



شکل ۱۷-۱ شکافتگی نرازهای $n = 2$ به علت (۱) جفت‌شدگی اسپین-مدار (که تأثیری بر حالت s ندارد) و (۲) اثر نسبیتی. واگنی نهایی حالت‌های ${}^2S_{1/2}$ و ${}^2P_{1/2}$ عملاً با اثرهای الکتروپنایمیکی کوانتومی از میان می‌رود. جابه‌جایی کوچک حالت ${}^2S_{1/2}$ به سمت بالا را انتقال لمب می‌نامند.

یادرفورد با یک آزمایش بسیار حساس جذب میکروموج نشان دادند که در واقع یک شکافتگی کوچک در این دو تراز وجود دارد. مقدار این شکافتگی را، که از مرتبه $m_e c^2 (Z\alpha)^4 \alpha \log \alpha$ است، می‌توان با برهم‌کنش الکترون با میدان الکترومغناطیسی خودش، یعنی یک اثر خود-انرژی، توضیح داد. این بحث خارج از قلمرو این کتاب است.

اثر نابهنجار زیمان

اکنون به بررسی رفتار اتمهای هیدروژنگونه در میدان مغناطیسی خارجی، یعنی اثر نابهنجار زیمان، می‌پردازیم. البته چیز نابهنجاری در این اثر وجود ندارد. واقعیت این است که اثر زیمانی، که می‌توان آن را به‌طور کلاسیک توضیح داد، تنها برای حالت‌هایی روی می‌دهد که اسپین الکترونی کل آنها صفر است. برای سایر حالتها نقش شکافتگی زیمان متفاوت است، و چون این اثر زیمان توضیح کلاسیک ندارد (چرا که در آن اسپین دخیل است) آن را "نابهنجار" نامیده بودند.

برای هامیلتونی نامختل، H_0 را همراه با جمله اسپین-مدار در نظر می‌گیریم. دلیل این کار آن است که اختلال خارجی ممکن است در مقایسه با اثر آنچه H_2 نامیدیم کوچک باشد. بنابراین، می‌نویسیم

$$H_0 = \frac{p^2}{2\mu} - \frac{Ze^2}{r} + \frac{\hbar}{2m^2c^2} \frac{Zc^2}{r^3} \mathbf{L} \cdot \mathbf{S} \quad (18-17)$$

اختلال اکنون عبارت است از

$$H_1 = \frac{e}{2mc} (\mathbf{L} + 2\mathbf{S}) \cdot \mathbf{B} \quad (19-17)$$

جمله اول در واقع برهم کنش گشتاور دو قطبی و میدان مغناطیسی ناشی از دوران بار است، و جمله دوم سهم گشتاور دو قطبی ذاتی یک ذره با اسپین S است:

$$M = -\frac{eg}{2m_e c} S \quad (20-17)$$

که در آن $g = 2$.

انتخاب H_0 نشان می‌دهد که باید مقدار انتظاری اختلال را در ویژه حالت‌های J^2 و J_z (با توابع ۱۵-۳۸ و ۱۵-۳۹) محاسبه کنیم. اگر محور z را در راستای B بگیریم، داریم

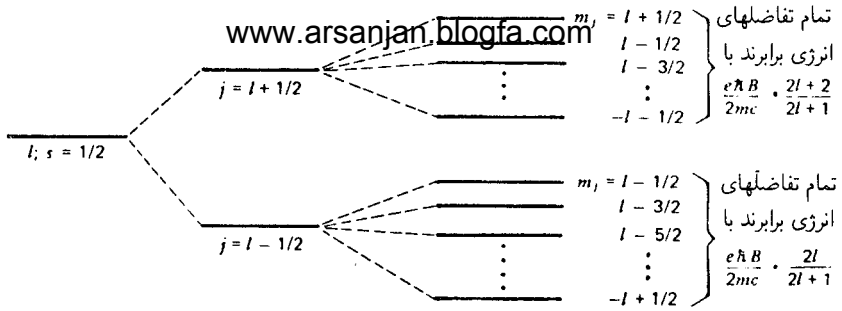
$$\begin{aligned} \left\langle \phi_{j m_j l} \left| \frac{eB}{2m_e c} (L_z + 2S_z) \right| \phi_{j m_j l} \right\rangle &= \left\langle \phi_{j m_j l} \left| \frac{eB}{2m_e c} (J_z + S_z) \right| \phi_{j m_j l} \right\rangle \\ &= \frac{eB}{2m_e c} (\hbar m_j + \langle \phi_{j m_j l} | S_z | \phi_{j m_j l} \rangle) \end{aligned} \quad (21-17)$$

آخرین عنصر ماتریسی در رابطه بالا را با استفاده از ویژه تابع‌های ۱۵-۳۸ و ۱۵-۳۹ صریحاً محاسبه می‌کنیم. به‌ازای $j = l + 1/2$ داریم

$$\begin{aligned} \left\langle \sqrt{\frac{l+m+1}{2l+1}} Y_{lm} \chi_+ + \sqrt{\frac{l-m}{2l+1}} Y_{l,m+1} \chi_- \right| S_z \left| \sqrt{\frac{l+m+1}{2l+1}} Y_{lm} \chi_+ + \sqrt{\frac{l-m}{2l+1}} Y_{l,m+1} \chi_- \right\rangle &= \frac{\hbar}{2} \left(\frac{l+m+1}{2l+1} - \frac{l-m}{2l+1} \right) \\ &= \frac{\hbar}{2} \frac{2m+1}{2l+1} = \frac{\hbar m_j}{2l+1} \end{aligned} \quad (22-17)$$

و به‌ازای $j = l - 1/2$

$$\begin{aligned} \left\langle \sqrt{\frac{l-m}{2l+1}} Y_{lm} \chi_+ - \sqrt{\frac{l+m+1}{2l+1}} Y_{l,m+1} \chi_- \right| S_z \left| \sqrt{\frac{l-m}{2l+1}} Y_{lm} \chi_+ - \sqrt{\frac{l+m+1}{2l+1}} Y_{l,m+1} \chi_- \right\rangle &= \frac{\hbar}{2} \left(\frac{l-m}{2l+1} - \frac{l+m+1}{2l+1} \right) \\ &= -\frac{\hbar}{2} \frac{2m+1}{2l+1} = -\frac{\hbar m_j}{2l+1} \end{aligned} \quad (23-17)$$



شکل ۱۷-۲. نمایش کلی اثر ناهنجار زیمن.

در هر دو رابطه بالا از این واقعیت استفاده کرده‌ایم که $m_j = m + 1/2$. با جاگذاری نتایج ۲۲-۱۷ و ۲۳-۱۷ در ۲۱-۱۷، به دست می‌آوریم

$$\Delta E = \frac{ehB}{2m_e c} m_j \left(1 \pm \frac{1}{2l+1} \right) \quad j = l \pm \frac{1}{2} \quad (24-17)$$

شکافتگی در شکل ۱۷-۲ نشان داده شده است. قاعده‌گزینش^۱ برای گذارها باز هم به صورت زیر است

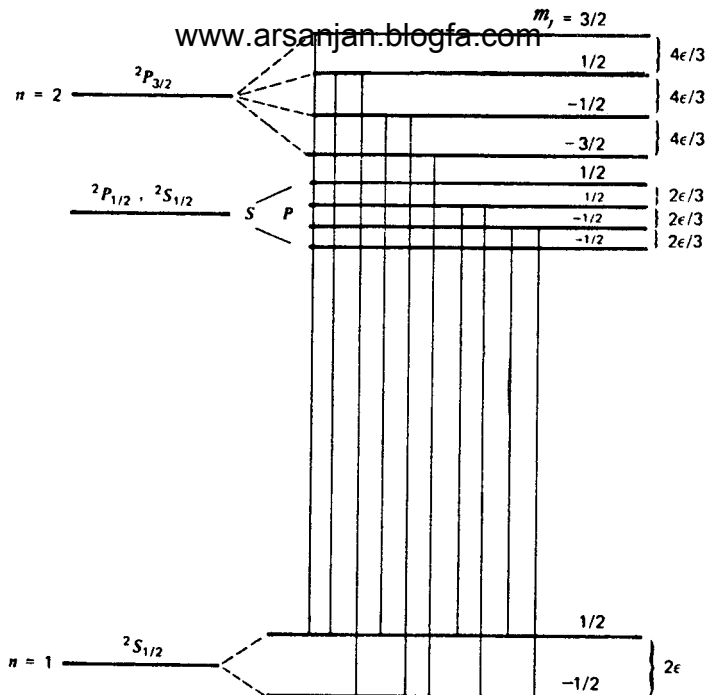
$$\Delta m_j = \pm 1, 0 \quad (25-17)$$

اما چون شکافتگی بین خطها برای تمام چندتاییها یکسان نیست، برخلاف مورد اثر بهنجار زیمن که در فصل ۱۳ بررسی کردیم درست سه خط به دست نمی‌آوریم. برای مثال، به‌ازای $m = 2$ حالت ${}^2P_{3/2}$ به چهار خط شکافته می‌شود که در آنها شکافتگی دو برابر شکافتگی مربوط به دو حالت در خطهای ${}^2P_{1/2}$ است (شکل ۱۷-۳). اگر میدان خارجی بسیار شدید باشد، که در نتیجه جفت‌شدگی اسپین-مدار قابل چشمپوشی است، می‌توان از توابع موج هیدروژنی معمولی که در اسپینورها ضرب شده‌اند، یعنی ویژه‌حالت‌های L_z ، L^2 ، S_z و S^2 ، استفاده کرد. اگر ویژه‌مقدارهای L_z و S_z را به ترتیب با m_l و m_s نشان دهیم، مقدار انتظاری H_1 در ۱۷-۱۹، با B در راستای z عبارت خواهد بود از

$$\langle H_1 \rangle = \frac{ehB}{2mc} (m_l + 2m_s) \quad (26-17)$$

بنابراین، حالت‌های $m = 2$ ، $l = 1$ به پنج تراز شکافته می‌شوند که به مقادیر $-1, 0, 1$ و $m_l = 1, 0, -1$ مربوط‌اند.

۱. محاسبه این قاعده‌گزینش (و سایر قاعده‌های گزینش) را در فصل ۲۱ بیان می‌کنیم.



شکل ۳-۱۷ اثر زیمن در هیدروژن، ϵ نماینده انرژی $ehB/2mc$ است. در این شکل گذارهایی نشان داده شده‌اند که برای آنها $l = 1$ و $\Delta m_l = 1, 0, -1$. جای حالت‌های نامختل در شکل ۱-۱۷ داده شده است.

ساختار فوق ریز

علاوه بر ساختار ریز ترازها که ناشی از جفت‌شدگی اسپین-مدار است، یک شکافتگی فوق ریز بسیار کوچک وجود دارد که در واقع یک اثر دائمی زیمن ناشی از میدان مغناطیسی حاصل از گشتاور دوقطبی مغناطیسی هسته است. اگر اسپین هسته را با I نشان دهیم، عملگر گشتاور دوقطبی مغناطیسی به صورت زیر است

$$\mathbf{M} = \frac{Zeg_N}{2M_{NC}} \mathbf{I} \quad (27-17)$$

که در آن Ze بار هسته، M_N جرم و g_M نسبت ژیرومغناطیسی آن است. پتانسیل برداری ناشی از دوقطبی نقطه‌ای بنابه نظریه الکترومغناطیس عبارت است از

$$\mathbf{A}(\mathbf{r}) = -\frac{1}{4\pi} (\mathbf{M} \times \nabla) \frac{1}{r} \quad (28-17)$$

و در نتیجه برای میدان مغناطیسی داریم
www.arsanjan.blogfa.com

$$\mathbf{B} = \nabla \times \mathbf{A} = -\frac{M}{4\pi} \nabla^2 \frac{1}{r} + \frac{1}{4\pi} \nabla(\mathbf{M} \cdot \nabla) \frac{1}{r} \quad (29-17)$$

که می توان آن را به صورت زیر نوشت

$$\begin{aligned} B_i &= -M_i \frac{1}{4\pi} \nabla^2 \frac{1}{r} + \frac{1}{4\pi} M_j \frac{\partial^2}{\partial x_i \partial x_j} \frac{1}{r} \\ &= M_i \delta(r) + \frac{1}{4\pi} M_j \frac{\partial^2}{\partial x_i \partial x_j} \frac{1}{r} \end{aligned} \quad (30-17)$$

در اینجا از رابطه زیر استفاده کرده ایم^۲

$$\nabla^2 \frac{1}{r} = -4\pi \delta(r) \quad (31-17)$$

اختلال عبارت است از

$$H_{hf} = -\mathbf{M}_e \cdot \mathbf{B} = -M_{ei} M_i \delta(\mathbf{r}) + \frac{1}{4\pi} M_{ei} M_j \frac{\partial^2}{\partial x_i \partial x_j} \frac{1}{r} \quad (32-17)$$

یک تحلیل ساده ابعادی نشان می دهد که این اختلال به صورت $\mathbf{M}_e \cdot \mathbf{M}/a_0^3$ است، و در نتیجه

$$\langle H_{hf} \rangle \approx \frac{Ze^2 g_N}{m_e M_N c^2} \hbar^2 \left(\frac{Z\alpha m_e c}{\hbar} \right)^2 \approx g_N (Z\alpha)^2 m_e c^2 (m_e/M_N)$$

که با ضریب m_e/M_N کوچکتر از شکافتگیهای اسپین-مدار نوعی است.

با شکافتگی حالتی $l = 0$ در اتم هیدروژن سروکار خواهیم داشت، و از این رو باید انتگرال

زیر را محاسبه کنیم

$$\int d^3r |\phi_{n0}(\mathbf{r})|^2 \left(-M_{ei} M_i \delta(\mathbf{r}) + \frac{1}{4\pi} M_{ei} M_j \frac{\partial^2}{\partial x_i \partial x_j} \frac{1}{r} \right)$$

۲. تنها با قسمت شعاعی ∇^2 سروکار داریم. برای اثبات، از این واقعیت استفاده می کنیم که به ازای $r \neq 0$ داریم

$\nabla^2(1/r) = 0$ ، و اینکه انتگرال $\nabla^2(1/r)$ روی کره کوچکی به شعاع ϵ برابر است با

$-4\pi\epsilon$ ، که به ϵ بستگی ندارد.

www.arsanjan.blogfa.com به علت تقارن کروی $|\phi_{n^{\circ}}(\mathbf{r})|^2$

$$\int d^3r |\phi_{n^{\circ}}(\mathbf{r})|^2 \frac{\partial^2}{\partial x_i \partial x_j} \frac{1}{r} = \frac{1}{3} \delta_{ij} \int d^3r |\phi_{n^{\circ}}(\mathbf{r})|^2 \nabla^2 \frac{1}{r}$$

$$= \frac{4\pi}{3} \delta_{ij} \int d^3r |\phi_{n^{\circ}}(\mathbf{r})|^2 \delta(\mathbf{r}) \quad (33-17)$$

بنابراین، به دست می آوریم

$$\langle \phi_{n^{\circ}} | H_{hf} | \phi_{n^{\circ}} \rangle = -\frac{2}{3} \mathbf{M}_e \cdot \mathbf{M} |\phi_{n^{\circ}}(\mathbf{0})|^2 \quad (34-17)$$

از آنجا که

$$|\phi_{n^{\circ}}(\mathbf{0})|^2 = R_{n^{\circ}}(\mathbf{0})^2 = \frac{4}{n^2} \left(\frac{Z\alpha m_e c}{\hbar} \right)^2 \quad (35-17)$$

نتیجه می گیریم که

$$\langle H \rangle = \frac{4}{3} g_N \frac{m_e}{M_N} (Z\alpha)^2 m_e c^2 \frac{1}{n^2} \frac{1}{n^2} \left(\frac{\mathbf{S} \cdot \mathbf{I}}{\hbar^2} \right) \quad (36-17)$$

اگر اسپین کل الکترون و هسته را با F نشان دهیم:

$$\mathbf{F} = \mathbf{S} + \mathbf{I} \quad (37-17)$$

آنگاه

$$\frac{\mathbf{S} \cdot \mathbf{I}}{\hbar^2} = \frac{\mathbf{F}^2 - \mathbf{S}^2 - \mathbf{I}^2}{2\hbar^2} = \frac{[F(F+1) - 3/4 - I(I+1)]}{2}$$

$$= \frac{1}{2} \begin{cases} I & F = I + \frac{1}{2} \\ -I - 1 & F = I - \frac{1}{2} \end{cases} \quad (38-17)$$

برای هیدروژن داریم $g_N = g_p \cong 5.58$ ، و اختلاف انرژی بین حالت برانگیخته $F = 1$ و حالت پایه $F = 0$ برابر است با

$$\Delta E = \frac{4}{3} (5.58) \frac{1}{1836} \frac{1}{(137)^2} (m_e c^2) \quad (39-17)$$

طول موج تابش مربوط به گذار بین حالت‌های $F=1$ و $F=0$ عبارت است از

$$\lambda \simeq 21\text{ cm} \quad (40-17)$$

و برای بسامد^۴ داریم

$$\nu = \frac{c}{\lambda} \simeq 1420 \text{ MHz} \quad (41-17)$$

تابش ناشی از این گذار نقش مهمی در اخترشناسی دارد. در گازی از اتمهای خنثی، حالت $F=1$ نمی‌تواند با تابش معمولی برانگیخته شود، زیرا قاعدهٔ گزینش قویاً مانع گذارهایی است که در آنها تغییری در تکانهٔ زاویه‌ای مداری وجود ندارد. حالت‌های $F=1$ و $F=0$ هر دو دارای تکانهٔ زاویه‌ای صفر هستند. از طرف دیگر، سازوکارهای دیگری وجود دارند که می‌توانند باعث این گذارها شوند. به‌عنوان مثال، حالت $F=1$ می‌تواند به‌علت برخورد برانگیخته شود، و بازگشت به حالت پایهٔ $F=0$ را می‌توان آشکارسازی کرد. اخترشناسان از تحلیل شدت تابش دریافت‌شدهٔ ۲۱ سانتیمتری اطلاعات بسیاری را دربارهٔ توزیع چگالی هیدروژن خنثی در فضای میان ستاره‌ای و همچنین حرکت و دمای ابرهای گازی حاوی هیدروژن به‌دست آورده‌اند. تعداد متوسط اتمهای هیدروژن خنثی در صفحهٔ کهکشانی نزدیک خورشید ظاهراً حدود 1 cm^{-3} است، و دما از مرتبهٔ 10^4 K است.

نکاتی دربارهٔ اثرات جرم کاهیده

در محاسبه‌های اختلال از اثرات جرم کاهیده به دلیل کوچکی مقدار m_e/M_p صرف‌نظر کردیم. در سی سال گذشته، امکان مطالعهٔ طیفهای اتمهای ناپایدار فراهم شده است، مانند اتمی که در آن یک μ^- (الکترون سنگین با جرم $m_\mu = 206.768 m_e$) که عمر کوتاهی دارد با یک پروتون حالت مقیدی تشکیل می‌دهد، یا پوزیترونیم که در آن الکترون e^- با پوزیترون e^+ (ذره‌ای شبیه به الکترون اما با علامت بار و گشتاور مغناطیسی مخالف) یک حالت مقید تشکیل می‌دهد. در این موارد، اثرات جرم کاهیده اهمیت بیشتری دارند و چگونگی تأثیر آنها را بر اثرات نسبیته به‌اختصار، و برای اتم هیدروژن، بیان می‌کنیم.

اگر انرژی جنبشی نسبیته پروتون و همچنین الکترون را منظور کنیم آنگاه تصحیحات انرژی

۴. این بسامد یکی از دقیقترین کمیتهای اندازه‌گیری‌شدهٔ فیزیک است:

$\pm 1420405751800 \text{ Hz}$ و $\pm 0.28 \text{ Hz}$ در این عدد توزیع مغناطیدگی در پروتون دخیل است، اما نظریه‌ای که بتواند عددی با این دقت را توضیح دهد وجود ندارد.

جنبشی غیرنسبیتی را می‌توان بصورت زیر نوشت: www.arsanjan.blogfa.com

$$H_{\lambda} = -\frac{\lambda}{\lambda} \frac{(\mathbf{P}^T)^T}{c^T} \left(\frac{\lambda}{m_e^T} + \frac{\lambda}{M_p^T} \right)$$

یا، پس از کمی محاسبه،

$$H_{\lambda} = \frac{\lambda}{\lambda} \frac{(\mathbf{P}^T)^T}{\mu m_e^T c^T} \left(\lambda - \frac{m_e}{M_p} + \left(\frac{m_e}{M_p} \right)^T \right) \quad (42-17)$$

در جمله اسپین-مدار M تغییر نمی‌کند اما $\mathbf{v} = \mathbf{p}/\mu$ در بحث اثر ناهنجار زیمان، اختلال اکنون عبارت است از

$$H_T = \left(\frac{e}{\sqrt{\mu c}} \mathbf{L} + \frac{eg}{\sqrt{m_e c}} \mathbf{S} \right) \cdot \mathbf{B} \quad (43-17)$$

و به جای ۲۱-۱۷ داریم

$$\begin{aligned} & \left\langle \phi_{jml} \left| \frac{eB}{\sqrt{\mu c}} L_z + \frac{egB}{\sqrt{m_e c}} S_z \right| \phi_{jml} \right\rangle \\ &= B \left\langle \phi_{jml} \left| \frac{e}{\sqrt{\mu c}} J_z + \left(\frac{eg}{\sqrt{m_e c}} - \frac{e}{\sqrt{\mu c}} \right) S_z \right| \phi_{jml} \right\rangle \quad (44-17) \\ &= \frac{eB}{\sqrt{\mu c}} \left[\hbar m_j + \left(g \frac{\mu}{m_e} - 1 \right) \langle \phi_{jml} | S_z | \phi_{jml} \rangle \right] \end{aligned}$$

در بحث ساختار فوق‌ریز برای هیدروژن می‌توان از اثرات جرم کاهیده صرف‌نظر کرد زیرا تمام اثر با ضریب m_e/M_N از اثرات اتمی مورد نظر کوچکتر است. به‌لحاظ عددی، اثرات جرم کاهیده کوچک هستند. جابه‌جاییهای انرژی برحسب میلی‌الکترون‌ولت شامل جمله‌های نسبیتی و اسپین-مدار در جدول زیر نشان داده شده‌اند.^۵

تراز	جابه‌جایی انرژی با $\mu = m_e$	جابه‌جایی انرژی شامل اثرات جرم کاهیده
$1 S_{1/2}$	-0.18113	-0.18074
$2 S_{1/2}$	-0.05660	-0.05648
$2 P_{1/2}$	-0.05660	-0.05651
$2 P_{3/2}$	-0.01132	-0.01128

۵. این جدول را استاد ج س تن تهیه کرده‌اند.

اثرات جرم کاهیده بر جابه‌جایی انرژی از مرتبه 10^{-6}eV تا 10^{-4}eV اثرات کوانتوم-الکترو دینامیکی (انتقال لمب) از مرتبه 10^{-6}eV هستند. بنابراین، منظور کردن اثرات جرم کاهیده برای هیدروژن ضرورتی ندارد، مگر اینکه بخواهیم محاسبات را با دقت بسیار بسیار زیاد انجام دهیم. از طرف دیگر، برای دستگاهی چون پوزیترونیم، یعنی حالت مقید e^-e^+ ، اثرات جرم کاهیده بسیار مهم هستند زیرا این دو ذره جرم یکسانی دارند. در اینجا شکافتگی فوق‌ریز نسبت به اثر اسپین-مدار یا نسبیتی کوچک نیست.

مسائل

۱۷-۱ اگر جفت‌شدگی اسپین-مدار برای ذره‌ای به جرم m و اسپین S که در پتانسیل $V(r)$ حرکت می‌کند به صورت کلی زیر باشد

$$H_{SO} = \frac{1}{2m^2c^2} \mathbf{S} \cdot \mathbf{L} \frac{1}{r} \frac{dV(r)}{dr}$$

تأثیر این جفت‌شدگی را بر طیف نوسانگر هماهنگ سه‌بعدی به دست آورید.
 ۱۷-۲ حالت‌های $n = 2$ را در اتم هیدروژن واقعی در نظر بگیرید. طیف را در غیاب میدان مغناطیسی بنویسید. اگر اتم را در میدان مغناطیسی 25000 G قرار دهیم، این طیف (با نادیده گرفتن ساختار فوق‌ریز) چگونه تغییر می‌کند؟
 ۱۷-۳ نشان دهید

$$\nabla^2 \frac{1}{r} = -4\pi\delta(\mathbf{r})$$

از روشی که در پانوشته مربوط به معادله ۱۷-۳۱ پیشنهاد شده است استفاده کنید.
 ۱۷-۴ گاز هیدروژن را در حالت پایه در نظر بگیرید. تأثیر میدان مغناطیسی را بر ساختار فوق‌ریز تعیین کنید. طیف را برای $B = 1 \text{ G}$ و برای $B = 10^4 \text{ G}$ محاسبه کنید.

[راهنمایی: معادله ویژه‌مقداری را برای برهم‌کنش $aS_z/\hbar + bI_z/\hbar + AS \cdot \mathbf{I}/\hbar^2$ با ماتریس 2×2 را قطری کنید].
 $a = \hbar B/m_e c$ ، $b = -e g_N \hbar B/M_N c$ و $A = g_N (4m_e/3M_N) \alpha^4$ بنویسید. باید یک

۱۷-۵ یک نوسانگر هماهنگ سه‌بعدی را در نظر بگیرید. با استفاده از رابطه نسبیتی برای انرژی جنبشی، جابه‌جایی انرژی حالت پایه را به دست آورید.

۱۷-۶ یک دوترون مشکل از پروتون (با بار $+e$) و نوترون (با بار 0) را در حالتی با اسپین کل 1 و

تکانه زاویه‌ای کل $J = ۱$ در $\text{www.arsanjan.blogfa.com}$ نوترون عبارت‌اند از

$$g_P = 2(۲,۷۸۹۶)$$

$$g_N = 2(-۱,۹۱۰۳)$$

(الف) حالت‌های تکانه زاویه‌ای مداری ممکن را برای این دستگاه تعیین کنید. اگر بدانیم حالت در ابتدا ۳S_۱ است، چه مخلوط مجازی با فرض پایسته بودن پارینه به دست می‌آید.
(ب) رابطه‌ای برای برهم‌کنش دوترون با میدان مغناطیسی خارجی بنویسید و شکافتگی زیمان را محاسبه کنید. نشان دهید اگر برهم‌کنش با میدان مغناطیسی را به صورت

$$V = -\mu_{\text{eff}} \cdot \mathbf{B}$$

بنویسیم گشتاور مغناطیسی مؤثر دوترون مجموع گشتاورهای مغناطیسی پروتون و نوترون است، و هر انحرافی از این نتیجه ناشی از ترکیب حالت غیر S با تابع موج است.
۷-۱۷ پوزیترونیم، اتم هیدروژن‌گونه‌ای متشکل از یک الکترون و یک پوزیترون (با همان جرم اما بار مخالف)، را در نظر بگیرید. (الف) انرژیهای حالت پایه و حالت‌های $۲ = n$ را محاسبه کنید. (ب) اثر انرژی جنبشی نسبی و جفت‌شدگی اسپین-مدار را به دست آورید. (ج) شکافتگی فوق‌ریز حالت پایه را تعیین کنید. نتایج را با نتیجه‌های مربوط به اتم هیدروژن مقایسه کنید و تفاوت‌های عمده را توضیح دهید.

مراجع

- مفصلترین بحث درباره فیزیک اتمهای هیدروژن‌گونه را می‌توان در کتاب زیر یافت
H A Bethe and E E Salpeter. *Quantum Mechanics of One-and Two-Electron Atoms*. Springer Verlag, Berlin. New York, 1957.
حرکت تقدیمی توماس در کتاب زیر بررسی شده است
R M Eisberg. *Fundamentals of Modern Physics*. John Wiley & Sons. New York. 1961.

۱۸

اتم هلیم

اتم هلیم بدون دافعه الکترون-الکترون

اتم هلیم از یک هسته با بار $Z = 2$ و دو الکترون که آنها را با ۱ و ۲ نشانگذاری می‌کنیم تشکیل شده است. این دو الکترون یکدیگر را دفع می‌کنند و هسته آنها را جذب می‌کند. فرض می‌کنیم (و خواهیم دید که این فرض درست است) که هیچ نیرویی غیر از نیروهای الکترومغناطیسی (کولنی با تقریب بسیار خوب) برای توصیف دینامیک اتم هلیم در مکانیک کوانتومی لازم نیست.

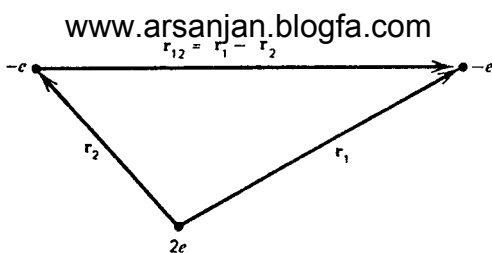
اگر هسته را در مبدأ بگیریم و مختصات الکترونها را با r_1 و r_2 نشان دهیم (شکل ۱۸-۱) هامیلتونی اتم هلیم را می‌توان به صورت زیر نوشت

$$H = \frac{1}{2m} p_1^2 + \frac{1}{2m} p_2^2 - \frac{Ze^2}{r_1} - \frac{Ze^2}{r_2} + \frac{e^2}{|r_1 - r_2|} \quad (1-18)$$

که در آن m جرم الکترون است. اثرات کوچک ناشی از حرکت هسته^۱، اثرات نسبیتی، اثرات

۱. اثر جرم کاهیده شکل نسبتاً متفاوتی پیدا می‌کند زیرا باید یک مسئله سه‌ذره‌ای را به مسئله عملاً دوذره‌ای تبدیل کنیم. جزئیات این تبدیل را در کتاب زیر ببینید

D Park, *Introduction to the Quantum Theory*, McGraw-Hill, New York, Third Edition (1992).



شکل ۱۸-۱ مختصات مربوط به توصیف اتم هلیم.

اسپین-مدار، و تأثیر جریان ناشی از حرکت یکی از الکترونها بر الکترون دیگر را در نظر نمی‌گیریم. هامیلتونی ۱۸-۱ را به صورت زیر می‌نویسیم

$$H = H^{(1)} + H^{(2)} + V \quad (2-18)$$

که در آن

$$H^{(i)} = \frac{1}{2m} \mathbf{p}_i^2 - \frac{Ze^2}{r_i} \quad (3-18)$$

و

$$V = \frac{e^2}{|\mathbf{r}_1 - \mathbf{r}_2|} \quad (4-18)$$

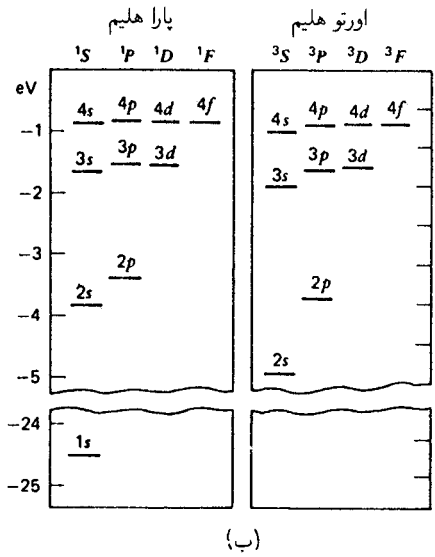
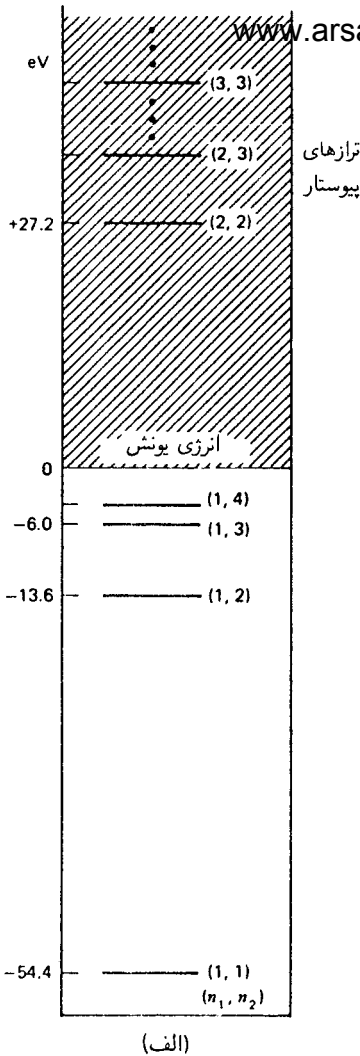
از این پس با بار هسته‌ای Z کار خواهیم کرد و هرگاه لازم باشد قرار می‌دهیم $Z = 2$. از بحث اتم هیدروژن مجموعه‌های کامل ویژه‌تابعهای $H^{(1)}$ و $H^{(2)}$ را داریم. بنابراین، اگر در هامیلتونی کل از V صرف‌نظر کنیم، جواب مسئله ویژه‌مقداری را برای دستگاه دو الکترونی به دست می‌آوریم. ویژه‌تابعها عبارت‌اند از

$$u(\mathbf{r}_1, \mathbf{r}_2) = \phi_{n_1 l_1 m_1}(\mathbf{r}_1) \phi_{n_2 l_2 m_2}(\mathbf{r}_2) \quad (5-18)$$

که در معادله زیر صدق می‌کنند

$$[H^{(1)} + H^{(2)}]u(\mathbf{r}_1, \mathbf{r}_2) = Eu(\mathbf{r}_1, \mathbf{r}_2) \quad (6-18)$$

و انرژی با رابطه زیر داده می‌شود (شکل ۱۸-۲ الف)



شکل ۱۸-۲ (الف) طیف هلیم با چشمپوشی از برهم‌کنش الکترون-الکترون. نقطه انرژی صفر در انرژی یونش انتخاب شده است. (ب) طیف هلیم واقعی برای حالت‌های تک‌تایی (پارا هلیم) و سه‌تایی (اورتو هلیم). در نشان‌گذاری ترازها یک تراز بازداشته (۱s) وجود دارد، و در نتیجه تراز (۲p) تقریباً با اوربیتال (۲p)(۱s) توصیف می‌شود.

$$E = E_{n_1} + E_{n_2} \quad (۷-۱۸)$$

که در آن $E_n = -(mc^2/2)(Z\alpha)^2/n^2$ بدین ترتیب، در این الگوی ایده‌آلی، که در آن الکترون‌ها

یکدیگر را "نمی بینند"، انرژی www.arsanjan.blogfa.com

$$E = -2E_1 = -mc^2 (\alpha)^2 = -10878 \text{ eV} \quad (8-18)$$

توجه کنید که این مقدار ۸ برابر انرژی حالت پایه هیدروژن است: $2 \times Z^2 \times (-13.6 \text{ eV})$.
اولین حالت برانگیخته حالتی است که در آن یک الکترون در حالت پایه خود، $n = 1$ است و الکترون دوم به اولین حالت برانگیخته خود، $n = 2$ رفته است. بنابراین،

$$E = E_1 + E_2 = -6870 \text{ eV} \quad (9-18)$$

انرژی یونش، یعنی انرژی لازم برای بردن الکترون از حالت پایه به بینهایت، عبارت است از

$$E_{\text{یونش}} = (E_1 + E_\infty) - 2E_1 = 5474 \text{ eV} \quad (10-18)$$

و کاملاً جالب است که ابتدای پیوستار پایینتر از حالت برانگیخته‌ای قرار دارد که در آن هر دو الکترون در حالت $n = 2$ هستند. انرژی این حالت برابر است با

$$E = 2E_2 = -2772 \text{ eV} \quad (11-18)$$

و پدیده تازه‌ای نمایان می‌شود: وجود یک حالت گسسته در پیوستار مربوط به هامیلتونی $H^{(1)} + H^{(2)}$.
مضامین این پدیده را به اختصار در پایان این فصل بررسی خواهیم کرد.

اثرات اصل طرد

چون این دو الکترون فرمیونهای یکسان هستند، باید تابع موج کل را تحت تعویض مختصات فضا و اسپین آنها پادمتقارن کنیم. بنابراین، توصیف درست حالت پایه این دستگاه ایده‌آلی به صورت زیر است

$$u_0(\mathbf{r}_1, \mathbf{r}_2) = \phi_{100}(\mathbf{r}_1)\phi_{100}(\mathbf{r}_2)\chi_{\text{تکتایی}} \quad (12-18)$$

قسمت فضایی تابع موج الزاماً متقارن است و به همین دلیل است که قسمت اسپینی را یک حالت تکتایی گرفته‌ایم:

$$\chi_{\text{تکتایی}} = \frac{1}{\sqrt{4}}(\chi_+^{(1)}\chi_-^{(2)} - \chi_-^{(1)}\chi_+^{(2)}) \quad (13-18)$$

برای اولین حالت برانگیخته $V = \frac{e^2}{|\mathbf{r}_1 - \mathbf{r}_2|}$ از لحاظ انرژی واکن هستند: یکی تابع متقارن فضایی-پادمتقارن اسپینی

$$u_1^{(s)} = \frac{1}{\sqrt{2}} [\phi_{100}(\mathbf{r}_1) \phi_{21m}(\mathbf{r}_2) + \phi_{21m}(\mathbf{r}_1) \phi_{100}(\mathbf{r}_2)] \chi_{\text{متقارن}} \quad (14-18)$$

و دیگری تابع پادمتقارن فضایی-متقارن اسپینی

$$u_1^{(t)} = \frac{1}{\sqrt{2}} [\phi_{100}(\mathbf{r}_1) \phi_{21m}(\mathbf{r}_2) - \phi_{21m}(\mathbf{r}_1) \phi_{100}(\mathbf{r}_2)] \chi_{\text{متقارن}} \quad (15-18)$$

که در آن توابع اسپین

$$X_{\text{متقارن}} = \begin{cases} \chi_+^{(1)} \chi_+^{(2)} \\ \frac{1}{\sqrt{2}} (\chi_+^{(1)} \chi_-^{(2)} + \chi_-^{(1)} \chi_+^{(2)}) \\ \chi_-^{(1)} \chi_-^{(2)} \end{cases} \quad (16-18)$$

بر تک‌تایی عمود هستند.

اثر دافعه الکترون-الکترون

در تقریب اول می‌توان برهم‌کنش کولنی الکترون-الکترون V را به صورت اختلال در نظر گرفت. ابتدا جابه‌جایی انرژی حالت پایه را تا مرتبه اول برحسب V محاسبه می‌کنیم. داریم

$$\Delta E = \int d^3r_1 d^3r_2 u_0^*(\mathbf{r}_1, \mathbf{r}_2) \frac{e^2}{|\mathbf{r}_1 - \mathbf{r}_2|} u_0(\mathbf{r}_1, \mathbf{r}_2) \quad (17-18)$$

چون اسپین در این اختلال دخالت ندارد، تنها کافی است بنویسیم

$$\Delta E = \int d^3r_1 d^3r_2 |\phi_{100}(\mathbf{r}_1)|^2 \frac{e^2}{|\mathbf{r}_1 - \mathbf{r}_2|} |\phi_{100}(\mathbf{r}_2)|^2 \quad (18-18)$$

این انتگرال تعبیر فیزیکی ساده‌ای دارد. چون $|\phi_{100}(\mathbf{r}_1)|^2$ چگالی احتمال یافتن الکترون ۱ در \mathbf{r}_1 است، می‌توان $e|\phi_{100}(\mathbf{r}_1)|^2$ را چگالی بار الکترون ۱ تعبیر کرد. در نتیجه کمیت

$$U(\mathbf{r}_2) = - \int d^3r_1 \frac{e|\phi_{100}(\mathbf{r}_1)|^2}{|\mathbf{r}_1 - \mathbf{r}_2|} \quad (19-18)$$

پتانسیل در r_2 ناشی از توزیع الکترون www.arsanjan-blogfa.com

$$\Delta E = - \int d^3r_2 e |\phi_{100}(r_2)|^2 U(r_2) \quad (20-18)$$

انرژی الکتروستاتیک برهم‌کنش الکترون ۲ با این پتانسیل است. این انتگرال را می‌توان محاسبه کرد. با $\phi_{100} = (\frac{2}{\sqrt{4\pi}})(Z/a_0)^{3/2} e^{-Zr/a_0}$ داریم

$$\Delta E = \left[\frac{1}{\pi} (Z/a_0)^3 \right]^2 e^2 \int_0^\infty r_1^2 dr_1 e^{-2Zr_1/a_0} \int_0^\infty r_2^2 dr_2 e^{-2Zr_2/a_0} \int d\Omega_1 \int d\Omega_2 \frac{1}{|\mathbf{r}_1 - \mathbf{r}_2|} \quad (21-18)$$

در نوشتن این رابطه از تفکیک زیر استفاده کرده‌ایم

$$\int d^3r = \int_0^\infty r^2 dr d\Omega$$

و جمله‌ای را که به زاویه میان \mathbf{r}_2 و \mathbf{r}_1 بستگی دارد جدا کرده‌ایم. در واقع، داریم

$$\frac{1}{|\mathbf{r}_1 - \mathbf{r}_2|} = \frac{1}{(r_1^2 + r_2^2 - 2r_1r_2 \cos \theta)^{1/2}} \quad (22-18)$$

که در آن θ زاویه میان \mathbf{r}_2 و \mathbf{r}_1 است. در اینجا می‌توان به دو روش کار کرد. (الف) در یک روش مستقیم، برای انتگرال‌گیری روی $d\Omega_2$ راستای \mathbf{r}_1 را محور z می‌گیریم، و به‌دست می‌آوریم

$$\begin{aligned} \int d\Omega_2 \frac{1}{|\mathbf{r}_1 - \mathbf{r}_2|} &= \int_0^{2\pi} d\phi \int_{-1}^1 d(\cos \theta) \frac{1}{(r_1^2 + r_2^2 - 2r_1r_2 \cos \theta)^{1/2}} \\ &= -2\pi \frac{1}{r_1r_2} \left[(r_1^2 + r_2^2 - 2r_1r_2 \cos \theta)^{1/2} \right]_{\cos \theta = -1}^{\cos \theta = +1} \\ &= \frac{2\pi}{r_1r_2} (r_1 + r_2 - |r_1 - r_2|) \end{aligned} \quad (23-18)$$

انتگرال‌گیری روی $d\Omega_1$ ساده است، زیرا هیچ چیز به زاویه بستگی ندارد، و در نتیجه

$$\int d\Omega_1 = 4\pi \quad (24-18)$$

بنابراین، طرف راست ۱۸-۲۱) و صورت آن نیز از www.arsanjan.blogfa.com

$$\lambda e^{\gamma} \left(\frac{Z}{a_0} \right)^{\epsilon} \int_0^{\infty} r_{\lambda} dr_{\lambda} e^{-\gamma Z r_{\lambda} / a_0} \int_0^{\infty} r_{\gamma} dr_{\gamma} e^{-\gamma Z r_{\gamma} / a_0} \times (r_{\lambda} + r_{\gamma} - |r_{\lambda} - r_{\gamma}|) \quad (25-18)$$

(ب) یک بسط بسیار مفید، که وقتی لازم می‌شود که بستگی زاویه‌ای اضافی در صورت کسر وجود داشته باشد، با رابطه زیر داده می‌شود. برای $r_{\lambda} > r_{\gamma}$

$$\begin{aligned} (r_{\lambda}^{\gamma} + r_{\gamma}^{\lambda} - \gamma r_{\lambda} r_{\gamma} \cos \theta)^{1/\gamma} &= r_{\lambda}^{-1} \left(1 + \frac{r_{\gamma}^{\gamma}}{r_{\lambda}^{\gamma}} - \gamma \frac{r_{\gamma}^{\lambda}}{r_{\lambda}} \cos \theta \right)^{-1/\gamma} \\ &= \frac{1}{r_{\lambda}} \sum_{L=0}^{\infty} \left(\frac{r_{\gamma}}{r_{\lambda}} \right)^L P_L(\cos \theta) \quad (26-18) \end{aligned}$$

و برای $r_{\gamma} > r_{\lambda}$ کافی است جای r_{λ} و r_{γ} را عوض کنیم. بنابراین،

$$\int d\Omega_{\lambda} \int d\Omega_{\gamma} \frac{1}{|r_{\lambda} - r_{\gamma}|} = \int d\Omega_{\lambda} \int d\Omega_{\gamma} \sum_{L=0}^{\infty} \frac{r_{<}^L}{r_{>}^{L+1}} P_L(\cos \theta) \quad (27-18)$$

که در آن $r_{<}$ و $r_{>}$ به ترتیب یکی از r_{λ} و r_{γ} است که بزرگتر و کوچکتر است. با استفاده از

$$\frac{1}{\gamma} \int_{-1}^1 d(\cos \theta) P_L(\cos \theta) = \delta_{L0} \quad (28-18)$$

به عنوان مورد خاصی از

$$\frac{1}{\gamma} \int_{-1}^1 d(\cos \theta) P_L(\cos \theta) P_{L'}(\cos \theta) = \frac{\delta_{LL'}}{\gamma L + 1} \quad (29-18)$$

اکنون می‌توان مانند سابق عمل کرد. با هر دو روش، ۱۸-۲۵ به صورت زیر درمی‌آید

$$\begin{aligned} \Delta E &= \lambda e^{\gamma} (Z/a_0)^{\epsilon} \int_0^{\infty} r_{\lambda} dr_{\lambda} e^{-\gamma Z r_{\lambda} / a_0} \left\{ \gamma \int_0^{r_{\lambda}} r_{\gamma}^{\gamma} dr_{\gamma} e^{-\gamma Z r_{\gamma} / a_0} \right. \\ &\quad \left. + \gamma r_{\lambda} \int_{r_{\lambda}}^{\infty} r_{\gamma} dr_{\gamma} e^{-\gamma Z r_{\gamma} / a_0} \right\} \quad (30-18) \end{aligned}$$

انتگرالها محاسبه ساده‌ای دارند. به دست می‌آید:

www.arsanjan.blogfa.com

$$\Delta E = \frac{5}{8} \frac{Ze^2}{a_0} = \frac{5}{4} Z \left(\frac{1}{2} mc^2 \alpha^2 \right) \quad (31-18)$$

که سهم آن مثبت است، زیرا ناشی از نیروی دافعه است، و به ازای $Z = 2$ برابر است با 34eV . وقتی این سهم را به نتیجه مرتبه صفر 1088eV اضافه کنیم، تا مرتبه اول به دست می‌آوریم

$$E \simeq -748\text{eV} \quad (32-18)$$

که با مقدار تجربی

$$E_{\text{تجربی}} = -78975\text{eV} \quad (33-18)$$

اختلاف قابل ملاحظه‌ای دارد. به لحاظ فیزیکی، می‌توان این اختلاف را به این واقعیت نسبت داد که در محاسبات بالا "استتار" را به حساب نیاورده‌ایم، یعنی این اثر را که وجود یکی از الکترونها باعث کاهش بار خالصی می‌شود که الکترون دیگر "می‌بیند". با تساهل زیاد، می‌توان گفت که اگر، به عنوان مثال، الکترون ۱ نیمه از زمان "بین" الکترون ۲ و هسته باشد آنگاه الکترون ۲ نیمه از زمان بار Z و نیمه از زمان بار $Z - 1$ را می‌بیند، یعنی عملاً در رابطه

$$E + \Delta E = -\frac{1}{4} mc^2 \alpha^2 \left(2Z^2 - \frac{5}{4} Z \right) \quad (34-18)$$

باید $(Z - 1/2)$ را به جای Z قرار دهیم. در نتیجه، اختلاف کمتر می‌شود اما استدلال خام بالا نمی‌تواند برای توجیه انتخاب 50% درصد احتمال استتار مؤثر کافی باشد. بعداً در این فصل، وقتی درباره اصل وردشی ریلی-ریتر بحث می‌کنیم، به این موضوع باز خواهیم گشت.

اصل طرد و برهم‌کنش تبادلی

اکنون اولین حالت برانگیخته هلیوم را بررسی می‌کنیم. کافی است جابه‌جایی انرژی را با حالت‌های تک‌تابی و سه‌تابی $m = 0$ که در $14-18$ و $15-18$ داده شده‌اند محاسبه کنیم، زیرا این جابه‌جایی ناشی از اختلالی است که با L_z جابه‌جا می‌شود. برای چنین اختلالی، جابه‌جایی باید مستقل از

مقدار m باشد. باز هم، به دلیل ناسیما: اختلال V به اسپین، داریم

$$\begin{aligned} \Delta E_{\lambda}^{(s,t)} &= \frac{1}{V} e^2 \int d^3 r_{\lambda} \int d^3 r_{\lambda'} [\phi_{\lambda_0}(r_{\lambda}) \phi_{r_{\lambda'}}(r_{\lambda'}) \pm \phi_{r_{\lambda'}}(r_{\lambda}) \phi_{\lambda_0}(r_{\lambda'})]^* \\ &\quad \times \frac{1}{|r_{\lambda} - r_{\lambda'}|} [\phi_{\lambda_0}(r_{\lambda}) \phi_{r_{\lambda'}}(r_{\lambda'}) \pm \phi_{r_{\lambda'}}(r_{\lambda}) \phi_{\lambda_0}(r_{\lambda'})] \\ &= e^2 \int d^3 r_{\lambda} \int d^3 r_{\lambda'} |\phi_{\lambda_0}(r_{\lambda})|^2 |\phi_{r_{\lambda'}}(r_{\lambda'})|^2 \frac{1}{|r_{\lambda} - r_{\lambda'}|} \quad (35-18) \\ &\quad \pm e^2 \int d^3 r_{\lambda} \int d^3 r_{\lambda'} \phi_{\lambda_0}^*(r_{\lambda}) \phi_{r_{\lambda'}}^*(r_{\lambda'}) \frac{1}{|r_{\lambda} - r_{\lambda'}|} \phi_{r_{\lambda'}}(r_{\lambda}) \phi_{\lambda_0}(r_{\lambda'}) \end{aligned}$$

در به دست آوردن این صورت ساده، از تقارن V تحت تعویض $r_{\lambda} \leftrightarrow r_{\lambda'}$ استفاده کرده‌ایم. دیده می‌شود که جابه‌جایی انرژی از دو جمله تشکیل شده است: جمله اول دارای شکل آشنای برهم‌کنش الکتروستاتیکی میان دو "ابر الکترونی" است که مطابق با توابع موج دو الکترون توزیع شده‌اند. این جمله صرفاً تعمیم ساده‌ی جمله‌ای است که برای جابه‌جایی انرژی حالت پایه به دست آوردیم. جمله دوم تعبیر کلاسیک ندارد. منشأ آن در اصل پاولی است، و علامت آن بستگی به این دارد که اسپین حالت $^{\circ}$ است یا \uparrow . در نتیجه، به علت این سهم تبادلی، جمله‌های سه‌تایی و تک‌تایی دیگر واگن نیستند. اگرچه در اینجا $n = 2$ را در نظر گرفته‌ایم، اما به‌طور کلی داریم

$$\begin{aligned} \Delta E_{n,l}^{(t)} &= J_{nl} - K_{nl} \\ \Delta E_{n,l}^{(s)} &= J_{nl} + K_{nl} \end{aligned} \quad (36-18)$$

انتگرالها را می‌توان به دقت محاسبه کرد (۲۷-۱۸ همین جا به کار می‌آید)، اما این محاسبه را انجام نمی‌دهیم. انتگرال J_{nl} به‌وضوح مثبت است، و معلوم می‌شود که K_{nl} هم مثبت است. این نتیجه به‌ازای $l = n - 1$ بدیهی است: در این مورد، توابع موجی که در ۳۵-۱۸ ظاهر می‌شوند گره ندارند. با استدلال کیفی زیر می‌توان نشان داد که حالت سه‌تایی باید انرژی کمتری از حالت تک‌تایی داشته باشد، یعنی

$$J_{nl} - K_{nl} < J_{nl} + K_{nl}$$

یا معادل آن

$$K_{nl} > 0 \quad (37-18)$$

در واقع، تابع موج برای حالت سه‌تایی با تبارین اسپین هم‌جهت الکترونها تا حدی مقیدند دور از یکدیگر قرار گیرند. این باعث تضعیف اثر استتار می‌شود، یعنی هر الکترون مقدار بیشتری از بار هسته را "می‌بیند"، و همچنین باعث می‌شود دافعه میان الکترونها نسبت به حالت متقارن فضایی تکتایی کمتر شود. یک جنبه جالب توجه این نتیجه آن است که، اگرچه پتانسیل اختلالی $e^2/|r_1 - r_2|$ به اسپینهای الکترونها بستگی ندارد، تقارن تابع موج باعث می‌شود پتانسیل به‌گونه‌ای رفتار کند که انگار وابسته به اسپین است. می‌توان ۱۸-۳۶ را به صورتی نوشت که این وابستگی را نشان دهد. اگر اسپینهای الکترونها را با s_1 و s_2 نشان دهیم، اسپین کل عبارت خواهد بود از $S = s_1 + s_2$ و

$$S^2 = s_1^2 + s_2^2 + 2s_1 \cdot s_2 \quad (38-18)$$

با اعمال این عملگر روی حالت‌های تکتایی و سه‌تایی ۱۸-۱۳ و ۱۸-۱۶، که ویژه‌حالت‌های s_1^2 و s_2^2 نیز هستند، به دست می‌آوریم

$$S(S+1)\hbar^2 = \frac{3}{4}\hbar^2 + \frac{3}{4}\hbar^2 + 2s_1 \cdot s_2$$

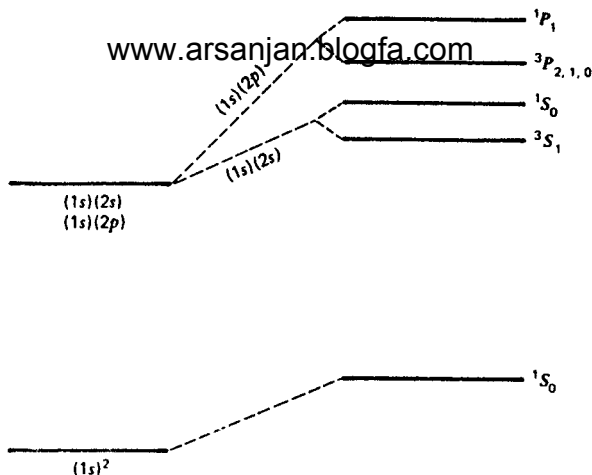
بنابراین،

$$2s_1 \cdot s_2 / \hbar^2 = S(S+1) - \frac{3}{2} = \begin{cases} \frac{1}{2} & \text{سه‌تایی} \\ -\frac{3}{2} & \text{تکتایی} \end{cases} \quad (39-18)$$

بدین ترتیب، برحسب σ ها که در $s_i = (1/2)\hbar\sigma_i$ صدق می‌کنند، می‌توان نوشت

$$\Delta E_{n,l} = J_{n,l} - \frac{1}{4}(1 + \sigma_1 \cdot \sigma_2)K_{nl} \quad (40-18)$$

در بحث مولکول H_2 باز هم این رابطه را خواهیم دید. معمولاً نیروهای وابسته به اسپین بین اتمها کاملاً ضعیف هستند. چنانکه در مثال جفت‌شدگی اسپین-مدار دیدیم، نیروهای وابسته به اسپین اغلب ناشی از تصحیحات نسیتی روی نیروهای استاتیک هستند. در مثال اسپین-مدار، این نیروها به نسبت ضریب α^2 ، که همان $(v/c)^2$ است، کاهش می‌یابند. این نیروها به اندازه کافی قوی نیستند که بتوانند اسپینهای الکترونها را در یک فرومغناطیس همراستا نگه دارند، بجز در دماهای کمی که غیرواقعی‌اند. وابستگی اسپینی ناشی از تبادل بسیار قویتر از آن است: این نیرو از همان مرتبه بزرگی نیروی الکتروستاتیک است و، چنانکه هایزنبرگ برای نخستین بار متوجه شد، باعث پدیده فرومغناطیس است.



شکل ۱۸-۳ نمودار شکافتگی چند حالت اول برانگیخته در هلیم.

طیف چند حالت اول برانگیخته در هلیم در شکل ۱۸-۳ نشان داده شده است. نمادنگاری به کار برده شده برای حالت‌های نامختل به اوربیتالها، یعنی اعداد کوانتومی الکترونیهای نامختل، مربوط می‌شود. بنابراین، هر دو الکترون در حالت پایه در حالت‌های $l = 0$ ، $m = 1$ هستند، و این را با $(1s, 1s)$ ، و در واقع به صورت فشرده‌تر $(1s)^2$ ، نشان داده‌ایم. باید توجه کرد که وقتی مثلاً برای اولین حالت برانگیخته می‌نویسیم $(1s)(2p)$ ، منظور این نیست که یک الکترون در یک حالت است و الکترون دیگر در حالت دیگر، زیرا برای الکترونها باید توابع موج کاملاً پادمتقارن باشند. راه دیگر نشانگذاری حالت استفاده از نمادنگاری L, S است، که برای حالت‌های مختل در شکل به کار برده‌ایم. می‌بینیم، در یک چندتایی معین حالت‌های تکتابی بالاتر از حالت‌های سه‌تابی قرار می‌گیرند. این پیامد تقارن است (به استدلال مربوط به $K_{nl} > 0$ مراجعه کنید) و مثال خاصی از یکی از قاعده‌های هوند است: اگر تمام چیزهای دیگر یکسان باشند، حالت‌های مربوط به بیشترین اسپین کمترین انرژی را دارند.^۲

اگر هلیم را با تاباندن نور فرابنفش به آن از حالت پایه برانگیخته کنیم، قاعده‌گزینش $\Delta L = 1$ ، که بعداً آن را به دست می‌آوریم، برانگیختگی به حالت‌های P را ایجاب می‌کند. علاوه بر آن، یک قاعده‌گزینش $\Delta S = 0$ وجود دارد که نشان می‌دهد تنها گذارهای تکتابی \rightarrow و سه‌تابی \leftarrow سه‌تابی غالب هستند.^۳ بنابراین، قویترین حالت برانگیخته از حالت پایه حالت $1P_1$ است. ترازهای دیگر نیز می‌توانند با سازوکارهای دیگری، مانند برانگیختگی برخوردی، اشغال شوند. اگر حالت پایه اشغال باشد، احتمال گذارهای تابشی به حالت پایه بسیار کم می‌شود. حالت $3P$ ، که در برخورد آنها در حالت $1P_1$ با اتم‌های دیگر گاز ممکن است اشغال شود، تنها می‌تواند به حالت $3S_1$ افت کند، و

۲. درباره قاعده‌های هوند با تفصیل بیشتری در فصل ۱۹ بحث خواهیم کرد.

۳. قاعده‌های گزینش را در فصل ۲۱ بررسی می‌کنیم.

این حالت را شبه پایدار می‌نامند زیرا در آن زمان به حالت پایه افت کند. این واقعیت که با تقریب خوب، بین حالت‌های سه‌تایی و حالت‌های تک‌تایی گذاری روی نمی‌دهد زمانی موجب این باور شد که دو نوع هلیوم وجود دارند: اورتوهلیوم (سه‌تایی) و پاراهلیوم (تک‌تایی).

طیف هلیوم در شکل ۱۸-۲ نشان می‌دهد که انرژی حالت‌های برانگیخته $(n\ell)$ اختلاف چندانی با انرژی‌های ترازهای اتم هیدروژن ندارند. برای مثال، انرژی بستگی یک الکترون در اتم هلیوم $24,6\text{eV}$ است:

$$24,6\text{eV} = 54,4 - 79,0 = (\text{انرژی بستگی هلیوم یک بار یونیده}) - (\text{انرژی بستگی کل})$$

در حالی که انرژی لازم برای آزاد شدن یک الکترون از حالت $2s$ از مرتبه 4 تا 5 الکترون ولت است، که با انرژی $3,4\text{eV}$ ($= 13,6/n^2\text{eV}$) برای هیدروژن قابل مقایسه است. دلیل این اثر آن است که الکترون "خارجی" تنها یک بار مثبت واحد را می‌بیند، زیرا الکترون "داخلی" در اوربیتال $(1s)$ هسته را استتار می‌کند، و بار کل مؤثر برابر با $Z - 1$ باقی می‌ماند. این وضعیت برای حالت پایه وجود ندارد، زیرا هر دو الکترون به هسته دسترسی دارند. بنابراین، حالت پایه در عمق اندکی بیشتر از حالت پایه هیدروژن قرار دارد.

در بحث مربوط به محاسبه مرتبه اول انرژی حالت پایه هلیوم اختلافی در حدود 4eV با مقدار تجربی به دست آورده‌ایم. به جای برآورد نتیجه مرتبه دوم، که کار بسیار پرزحمتی است، از روش کاملاً متفاوتی برای محاسبه انرژی حالت پایه — روش وردشی ریتز — استفاده می‌کنیم.

اصل وردشی

یک هامیلتونی H و یک تابع انتگرال‌پذیر مجذوری Ψ را در نظر بگیرید. فرض کنید Ψ به 1 بهنجار شده است:

$$\langle \Psi | \Psi \rangle = 1 \quad (41-18)$$

ویژه حالت‌های H را با ψ_n نشان می‌دهیم:

$$H\psi_n = E_n\psi_n \quad (42-18)$$

تابع Ψ را می‌توان برحسب مجموعه کامل ویژه تابع‌های ψ_n بسط داد:

$$\Psi = \sum_n C_n \psi_n \quad (43-18)$$

$$\begin{aligned}
 \langle \Psi | H | \Psi \rangle &= \sum_n \sum_m C_n^* \langle \psi_n | H | \psi_m \rangle C_m \\
 &= \sum_n \sum_m C_n^* C_m E_m \langle \psi_n | \psi_m \rangle \\
 &= \sum_n |C_n|^2 E_n \\
 &\geq E_0 \sum_n |C_n|^2
 \end{aligned} \tag{۴۴-۱۸}$$

چون ۴۱-۱۸ ایجاب می‌کند که

$$\sum_n |C_n|^2 = 1 \tag{۴۵-۱۸}$$

نتیجه می‌گیریم که

$$E_0 \leq \langle \Psi | H | \Psi \rangle \tag{۴۶-۱۸}$$

با استفاده از این نتیجه می‌توان یک کران بالا برای E_0 محاسبه کرد. این کار را می‌توان با انتخاب یک Ψ که به تعدادی پارامتر $(\alpha_1, \alpha_2, \dots)$ بستگی دارد، محاسبه $\langle \Psi | H | \Psi \rangle$ ، و کمینه کردن این کمیت نسبت به پارامترهای مزبور انجام داد.

کارایی این روش را با محاسبه انرژی حالت پایه هلیم نشان می‌دهیم، و بدین منظور Ψ را به صورت حاصلضرب توابع موج هیدروژنگونه در اوربیتالهای $(1s)$ اما با بار اختیاری Z انتخاب می‌کنیم. می‌نویسیم

$$\Psi(\mathbf{r}_1, \mathbf{r}_2) = \psi_{100}(\mathbf{r}_1) \psi_{100}(\mathbf{r}_2) \tag{۴۷-۱۸}$$

به طوری که توابع موج $\psi_{100}(\mathbf{r})$ در معادله ویژه مقدری زیر صدق می‌کنند

$$\left(\frac{\mathbf{p}^2}{2m} - \frac{Z^2 e^2}{r} \right) \psi_{100}(\mathbf{r}) = \epsilon \psi_{100}(\mathbf{r}) \tag{۴۸-۱۸}$$

که در آن $(\hbar^2/2m)c^2(Z^+ \alpha)^2$ www.arsanjan.blogfa.com است.

$$\int d^3r_1 \int d^3r_2 \psi_{1..}^*(\mathbf{r}_1) \psi_{1..}^*(\mathbf{r}_2) \left(\frac{\mathbf{p}_1^2}{2m} + \frac{\mathbf{p}_2^2}{2m} - \frac{Ze^2}{r_1} - \frac{Ze^2}{r_2} + \frac{e^2}{|\mathbf{r}_1 - \mathbf{r}_2|} \right) \psi_{1..}(\mathbf{r}_1) \psi_{1..}(\mathbf{r}_2) \quad (49-18)$$

داریم

$$\begin{aligned} & \int d^3r_1 \int d^3r_2 \psi_{1..}^*(\mathbf{r}_1) \psi_{1..}^*(\mathbf{r}_2) \left(\frac{\mathbf{p}_1^2}{2m} - \frac{Ze^2}{r_1} \right) \psi_{1..}(\mathbf{r}_1) \psi_{1..}(\mathbf{r}_2) \\ &= \int d^3r_1 \psi_{1..}^*(\mathbf{r}_1) \left(\frac{\mathbf{p}_1^2}{2m} - \frac{Z^+ e^2}{r_1} + \frac{(Z^+ - Z)e^2}{r_1} \right) \psi_{1..}(\mathbf{r}_1) \\ &= \epsilon + (Z^+ - Z)e^2 \int d^3r_1 |\psi_{1..}(\mathbf{r}_1)|^2 \frac{1}{r_1} \quad (50-18) \\ &= \epsilon + (Z^+ - Z)e^2 \frac{Z}{a_0} \\ &= \epsilon + Z^+(Z^+ - Z)mc^2 \alpha^2 \end{aligned}$$

جمله یکسانی برای الکترون ۲ به دست می‌آوریم، و مقدار انتظاری دافعه الکترون-الکترون را قبلاً در ۳۱-۱۸ محاسبه کرده‌ایم، با این تفاوت که به جای Z اکنون باید Z^- را قرار دهیم. از جمع این جمله‌ها به دست می‌آوریم

$$\begin{aligned} \langle \Psi | H | \Psi \rangle &= -\frac{1}{4} mc^2 \alpha^2 \left(2Z^{*2} + 4Z^+(Z - Z^-) - \frac{5}{4} Z^+ \right) \\ &= -\frac{1}{4} mc^2 \alpha^2 \left(4ZZ^* - 2Z^{*2} - \frac{5}{4} Z^+ \right) \quad (51-18) \end{aligned}$$

از کمینه کردن این کمیت نسبت به Z^+ نتیجه می‌گیریم که

$$Z^+ = Z - \frac{5}{16} \quad (52-18)$$

که بهتر از حدس قبلی $(Z=1/2)$ است. بدین ترتیب، به ازای $Z=2$ به دست می‌آوریم

$$E_0 \leq -\frac{1}{2} mc^2 \alpha^2 \left[2 \left(Z - \frac{5}{16} \right)^2 \right] = -77,38 \text{ eV} \quad (53-18)$$

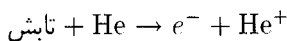
این نتیجه بسیار بهتر از نتیجه اختلال مرتبه اول است.

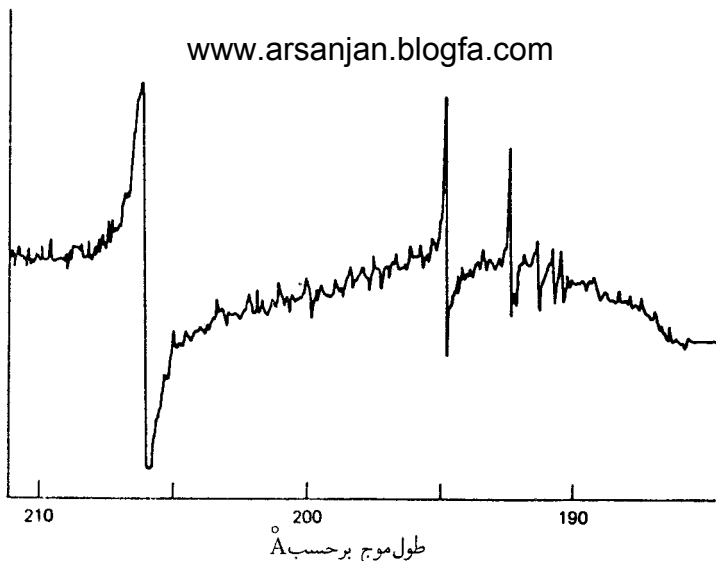
محاسبهٔ وردشی را می‌توان با توابع موج آزمونی پیچیده‌تری انجام داد. پکریس^۲ با استفاده از یک تابع موج 1075 جمله‌ای $\langle \Psi | H | \Psi \rangle$ را با کامپیوتر کمینه کرد. کران به دست آمده، با توجه به خطاهای آزمایش، با مقدار اندازه‌گیری شده توافق دارد. بدیهی است که چنین تابع موج پیچیده‌ای به‌صورتی نیست که مانند $18-47$ ، با اثرات استتاری جزئی‌اش، به‌آسانی قابل تعبیر باشد. اما این تابع موج تأیید محکمی بر صحت مکانیک کوانتومی و بر این فرض است که برای توضیح ساختار اتمها نیروهای الکترومغناطیسی کفایت می‌کنند.

خودیونش

در پایان، به‌اختصار به بررسی این مشاهدهٔ قبلی خود می‌پردازیم که ویژه‌مقدارهایی از $H^{(1)} + H^{(2)}$ بالاتر از آستانهٔ یونش قرار می‌گیرند و در عین حال گسسته هستند. به‌عنوان مثال، حالتی که با اوربیتالهای $(2s)^2$ و $(2p)(2s)$ مشخص می‌شوند کاملاً بالاتر از انرژی یونش قرار دارند. این پدیده پیامدهای فیزیکی جالب توجهی دارد. برای مثال، حالت $(2p)(2s)$ را در نظر بگیرید. اگر الکترونها یک حالت اسپین تکتابی تشکیل دهند، این حالت یک $1P_1$ خواهد بود، و الکترونها می‌توانند از حالت پایه با جذب تابش به این حالت برانگیخته شوند، زیرا قاعده‌های گزینش $\Delta l = 1$ و $\Delta S = 0$ نقض نمی‌شوند. پس از برانگیختگی، لازم نیست که این حالت به حالت پایه $(1S_0)$ یا به هر حالت دیگری که بنابه قاعده‌های گزینش مجاز است (مثلاً حالت $1D_2$) افت کند، زیرا می‌تواند در مجرای دیگری قرار گیرد: این حالت می‌تواند به یک الکترون و هلیم یک بار یونیده، He^+ ، واباشد. انرژی الکترون از پایستگی انرژی تعیین می‌شود. این فرایند را خودیونش می‌نامند.

حالت $(2p)(2s)$ در پیوستار به‌وضوح در پراکندگی الکترونها از یونهای He^+ مشاهده می‌شود. وقتی انرژی الکترون به اندازه‌ای است که حالت مرکب می‌تواند تشکیل شود، یک قلهٔ بسیار بارز در آهنگ پراکندگی ظاهر می‌شود. همچنین، در جذب تابش توسط هلیم، در نزدیکی انرژی حالت مرکب $(e^- - \text{He}^+)$ یک قلهٔ تیز در جذب رخ می‌دهد (شکل $18-4$). جذب در انرژیهای دیگر نیز صورت می‌گیرد، زیرا فرایند





شکل ۱۸-۴ تشدید در طیف جذبی هلیوم بالاتر از آستانهٔ پیوستار: اولین قله در انرژی متناظر با محل تراز $(2p)(2s)$ واقع می‌شود.^۵

می‌تواند روی دهد، اما تغییرات جذب برحسب انرژی در انرژیهای دور از انرژی حالت مرکب بسیار هموار است. این حالت را می‌توان به‌گونهٔ دیگری به‌عنوان حالت تشدید نیز توصیف کرد. چون این حالت به اجزاء تشکیل‌دهنده‌اش $e^- + He^+$ وامی‌باشد نمی‌تواند برای همیشه پایدار بماند. در نتیجه، بنابه رابطهٔ عدم قطعیت $\Delta E \gtrsim \hbar/\Delta t$ ، انرژی آن دقیقاً معین نیست، که به نظر می‌رسد با این واقعیت که حالت $(2s)(2p)$ انرژی کاملاً معینی دارد ناسازگار است. اگر جفت‌شدگی حالت گسسته به حالت پیوستار را به حساب آوریم، آن حالت دیگر گسسته نخواهد بود، و انرژی آن می‌تواند در هر جایی از یک گسترهٔ باریک حول انرژی محاسبه شدهٔ بدون جفت‌شدگی قرار داشته باشد. در فصل ۲۳ و در مبحث خاص ۴، ”طول عمر، پهنای خط، و تشدید“، به این موضوع باز خواهیم گشت.

مسائل

۱۸-۱ اتم هلیوم را در تقریبی در نظر بگیرید که در آن از برهم‌کنش الکترون-الکترون صرف‌نظر شده است. پایینترین حالت اورتوهلیم (اسپین ۱) را به‌دست آورید. واگنی آن را در این تقریب تعیین کنید. رابطهٔ شکافتگی ناشی از دافعهٔ الکترون-الکترون را در نظریهٔ اختلال مرتبهٔ اول بنویسید و بزرگی آن را برآورد کنید.

۵. اقتباس مجاز از

۲-۱۸. جابه جایی انرژی پایتت $\Psi^{(t)}$ (www.arsanjan.blogfa.com) را محاسبه کنید.

۳-۱۸. گشتاور مغناطیسی پایتترین حالت اورتو هلیم را به دست آورید، یعنی برهم کنش با میدان مغناطیسی خارجی را محاسبه کنید.

۴-۱۸. کمیت

$$"E" = \langle \Psi | H | \Psi \rangle$$

را در نظر بگیرید که در آن Ψ یک تابع موج آزمونی اختیاری است. نشان دهید اگر Ψ با تابع موج صحیح حالت پایه ψ_0 با جمله هایی از مرتبه ϵ اختلاف داشته باشد آنگاه "E" با انرژی حالت پایه با جمله هایی از مرتبه ϵ^2 تفاوت خواهد داشت.

[تذکر: شرط بهنجارش $\langle \Psi | \Psi \rangle = 1$ را فراموش نکنید.]

۵-۱۸. استفاده از اصل وردشی، انرژی حالت پایه نوسانگر هماهنگ سه بعدی را با به کار بردن تابع موج آزمونی زیر برآورد کنید

$$\Psi = N e^{-\alpha r}$$

۶-۱۸. بستگی یک پروتون و یک نوترون (هر دو تقریباً با $mc^2 = 938 \text{ MeV}$) با پتانسیل

$$V(r) = V_0 \frac{e^{-r/r_0}}{r/r_0}$$

را وقتی دستگاه در حالت $l = 0$ است در نظر بگیرید. r_0 گستره پتانسیل است. با استفاده از روش زیر، عمق پتانسیل لازم برای تعیین انرژی بستگی E_B را محاسبه کنید. (الف) مقدار تقریبی انرژی بستگی را با استفاده از اصل وردشی به دست آورید. (ب) در رابطه میان مقدار تقریبی r_0 و عمق پتانسیل، مقدار تجربی E_B را قرار دهید. در محاسبات عددی از $r_0 = 2.8 \times 10^{-12} \text{ cm}$ و $E_B = -23 \text{ MeV}$ استفاده کنید. (جرم کاهیده را فراموش نکنید.)

۷-۱۸. ماتریس H_{ij} با بعد متناهی را در نظر بگیرید. نشان دهید شرط کمینه کردن

$$\langle \Psi | H | \Psi \rangle = \sum_{i,j=1}^n a_i^* H_{ij} a_j$$

تحت شرط

$$\langle \Psi | \Psi \rangle = \sum_{i=1}^n a_i^* a_i = 1$$

ویژه‌مقدارهای ماتریس H را www.arsanjan.blogfa.com

[راهنمایی: از روش ضرایب لاگرانژ استفاده کنید.]

۸-۱۸ با استفاده از اصل وردشی نشان دهید که پتانسیل جاذبه یک‌بعدی همیشه دارای حالت مقید است.

[راهنمایی: $\langle \Psi | H | \Psi \rangle$ را با یک تابع آزمونی مناسب، مانند $N e^{-\beta^{\dagger} x^{\dagger}}$ ، محاسبه کنید و نشان دهید این مقدار انتظاری را همیشه می‌توان منفی کرد.]

۹-۱۸ با استفاده از داده‌های شکل ۴-۱۸، محل تراز $(2p)(2s)$ را در بالای حالت پایه هلیوم محاسبه کنید و سرعت الکترون گسیل شده در خودیونش را، اگر یون He^+ سرانجام در پایتترین حالت خود باشد، به دست آورید. اگر یون He^+ در اولین حالت برانگیخته خود باشد این سرعت را تعیین کنید.

۱۰-۱۸ تابع موج $\psi(\alpha_1, \alpha_2, \dots, \alpha_n)$ را در نظر بگیرید، که در آن تنها وابستگی به چند پارامتر نشان داده شده است. این تابع موج بهنجار شده است:

$$\langle \psi(\alpha_1, \alpha_2, \dots, \alpha_n) | \psi(\alpha_1, \alpha_2, \dots, \alpha_n) \rangle = 1$$

و وابستگی به پارامترها به‌گونه‌ای انتخاب شده است که کمیت زیر کمیته باشد

$$\mathcal{E} = \langle \psi(\alpha_1, \dots) | H | \psi(\alpha_1, \dots) \rangle$$

نشان دهید پارامترها از مجموعه معادله‌های زیر به دست می‌آیند

$$\left\langle \psi(\alpha_1, \dots) \left| H \right| \frac{\partial \psi}{\partial \alpha_i} \right\rangle - \mu \left\langle \psi(\alpha_1, \dots) \left| \frac{\partial \psi}{\partial \alpha_i} \right\rangle = 0 \quad i = 1, 2, \dots, n$$

که در آنها μ ضریب لاگرانژ است. فرض کنید H به پارامتر λ بستگی دارد (که می‌تواند، به‌عنوان مثال، بار هسته یا یک فاصله، مانند فاصله بین هسته‌ای در یک مولکول، باشد). آنگاه پارامترهای α_i به λ بستگی خواهند داشت. ثابت کنید

$$\frac{d\mathcal{E}}{d\lambda} = \left\langle \psi(\alpha_1, \dots) \left| \frac{\partial H}{\partial \lambda} \right| \psi(\alpha_1, \dots) \right\rangle$$

که آن را قضیه فاینمن-هلمن می‌نامند و در محاسبات فیزیک مولکولی بسیار مفید است. ۱۱-۱۸ با استفاده از اصل وردشی، انرژی حالت پایه نوسانگر ناهماهنگی را برآورد کنید که برای آن

$$H = \frac{p^{\dagger}}{2m} + \lambda x^{\dagger}$$

نتیجه خود را با نتیجه دقیق www.arsanjan.blogfa.com مقایسه کنید.

$$E_0 = 1,060 \lambda^{1/2} \left(\frac{\hbar^2}{2m} \right)^{2/3}$$

[راهنمایی: از تابع آزمونی گاوسی استفاده کنید.]

۱۸-۱۲ با توجه به اینکه در قسمت شعاعی هامیلتونی اتم هیدروژن پتانسیل با رابطه زیر داده می‌شود

$$V_{\text{eff}} = -\frac{Ze^2}{r} + \frac{l(l+1)\hbar^2}{2\mu r^2}$$

و ویژه‌مقدارها عبارت‌اند از

$$E(n_r, l) = -\frac{1}{4}\mu c^2 \frac{(Z\alpha)^2}{(n_r + l + 1)^2}$$

با استفاده از قضیه فاینمن-هلن کمیت‌های $\langle 1/r \rangle_{nl}$ و $\langle 1/r^2 \rangle_{nl}$ را با انتخاب مناسب پارامتر λ محاسبه کنید.

۱۸-۱۳ با استفاده از نتیجه دقیقی که در مسئله ۱۸-۱۱ داده شده است و قضیه فاینمن-هلن، $\langle p^2 \rangle$ و $\langle r^2 \rangle$ را برای حالت پایه نوسانگر ناهماهنگ به دست آورید.

۱۸-۱۴ بنابه اصل وردشی ریتز، مقدار انتظاری هامیلتونی H در یک حالت بهنجار شده اختیاری ψ از رابطه زیر پیروی می‌کند

$$\langle \psi | H | \psi \rangle > E_0.$$

که در آن E_0 کمترین ویژه‌مقدار H است. فرض کنید H یک ماتریس هرمیتی $N \times N$ با عناصر H_{ij} ($i, j = 1, 2, 3, \dots, N$) است و E_0 کمترین ویژه‌مقدار آن است. با انتخاب مناسب ψ ، ثابت کنید E_0 از هر یک از عناصر قطری H_{ii} کوچکتر است.

۱۸-۱۵ دو ذره یکسان با اسپین $1/2$ را در پتانسیل نوسانگر هماهنگ در نظر بگیرید، به طوری که هامیلتونی این دستگاه به صورت زیر است

$$H = \frac{p_1^2}{2m} + \frac{p_2^2}{2m} + \frac{1}{4}m\omega^2(r_1 - r_2)^2$$

فرض کنید نکانه مرکز جرم این دستگاه دودره‌ای صفر است و دو ذره در حالت‌های $l = 0$ هستند.

www.arsanjan.blogfa.com (الف) تابع موج حالت

(ب) اولین حالت‌های برانگیخته را برحسب حالت‌های اسپین تک‌تایی و سه‌تایی بنویسید.

(ج) فرض کنید برهم‌کنش کوتاه‌بردی میان این ذرات وجود دارد که می‌توان آن را در حالت $l = 0$ با $C[\delta(r)/r^2]$ تقریب گرفت. تأثیر این اختلال را روی حالت‌های به‌دست آمده در قسمت (ب) محاسبه کنید.

مراجع

یک بحث بسیار جالب درباره طیف هلیوم را می‌توان در کتاب زیر یافت

H A Bethe and R W Jackiw, *Intermediate Quantum Mechanics*, W, A Benjamin, New York, 1968.

ساختار اتمها

تقریب هارتری

مسئله ویژه مقداری انرژی برای اتمی با Z الکترون به صورت زیر است

$$\left(\sum_{i=1}^Z \frac{\mathbf{p}_i^2}{2m} - \frac{Ze^2}{r_i} + \sum_{i>j} \frac{e^2}{|\mathbf{r}_i - \mathbf{r}_j|} \right) \psi(\mathbf{r}_1, \mathbf{r}_2, \dots, \mathbf{r}_Z) = E \psi(\mathbf{r}_1, \mathbf{r}_2, \dots, \mathbf{r}_Z) \quad (1-19)$$

که یک معادله دیفرانسیل جزئی در $3Z$ بعد است. برای اتمهای سبک می‌توان این معادله را با کامپیوتر حل کرد، اما این نوع راه‌حلهای تنها برای متخصصان مفید است. بحث ما درباره ساختار اتمی در اینجا مبتنی بر رهیافت دیگری است. مانند مثال هلیوم ($Z = 2$)، در نظر گرفتن این مسئله به صورت مسئله‌ای شامل Z الکترون مستقل در یک پتانسیل منفرد، و منظور کردن برهم‌کنش الکترون-الکترون در مرحله بعد، هم عملی است و هم روشن‌گر. چنانکه دیدیم، نظریه اختلال برای $Z = 2$ مناسب است، اما با افزایش تعداد الکترونها اثرات استتار، که در نظریه اختلال مرتبه اول منظور نمی‌شوند، اهمیت بیشتری می‌یابند. اصل وردشی، که آن را در اواخر فصل ۱۸ بررسی کردیم، این حسن را دارد که تصویر تک‌ذره‌ای را حفظ می‌کند، و در عین حال توابع تک‌ذره‌ای را با در نظر گرفتن تصحیحات استتار به دست می‌دهد.

برای به‌کار بردن اصل وردش، تابع موج را به صورت زیر است

$$\psi(\mathbf{r}_1, \mathbf{r}_2, \dots, \mathbf{r}_Z) = \phi_1(\mathbf{r}_1)\phi_2(\mathbf{r}_2)\cdots\phi_Z(\mathbf{r}_Z) \quad (۲-۱۹)$$

هر یک از توابع $\phi_i(\mathbf{r}_i)$ به ۱ بهنجار شده‌اند. اگر مقدار انتظاری H را در این حالت محاسبه کنیم، به‌دست می‌آوریم

$$\begin{aligned} \langle H \rangle = & \sum_{i=1}^Z \int d^3\mathbf{r}_i \phi_i^*(\mathbf{r}_i) \left(-\frac{\hbar^2}{2m} \nabla_i^2 - \frac{Ze^2}{r_i} \right) \phi_i(\mathbf{r}_i) \\ & + e^2 \sum_{i>j} \sum_j \int \int d^3\mathbf{r}_i d^3\mathbf{r}_j \frac{|\phi_i(\mathbf{r}_i)|^2 |\phi_j(\mathbf{r}_j)|^2}{|\mathbf{r}_i - \mathbf{r}_j|} \end{aligned} \quad (۳-۱۹)$$

در روش وردشی $\phi_i(\mathbf{r}_i)$ ها را به‌گونه‌ای انتخاب می‌کنیم که $\langle H \rangle$ کمینه شود. اگر بخواهیم $\phi_i(\mathbf{r}_i)$ ها را توابع موج هیدروژن‌گونه، با مقادیر مختلف Z_i برای هر الکترون (و با هر الکترون در یک حالت کوانتومی متفاوت برای رعایت اصل طرد پاولی) بگیریم، مجموعه‌ای از معادله‌هایی مانند ۱۸-۵۱ و ۱۸-۵۲ به‌دست می‌آوریم. یک رهیافت کلی‌تر تقریب هارتری است. اگر $\phi_i(\mathbf{r}_i)$ ها توابع موج تک‌ذره‌ایی باشند که $\langle H \rangle$ را کمینه می‌کنند، آنگاه یک وردش بینهایت کوچک در این توابع،

$$\phi_i(\mathbf{r}_i) \rightarrow \phi_i(\mathbf{r}_i) + \lambda f_i(\mathbf{r}_i) \quad (۴-۱۹)$$

$\langle H \rangle$ را تنها به‌اندازهٔ جمله‌ای از مرتبهٔ λ^2 تغییر خواهد داد. این وردشها باید به‌گونه‌ای باشند که

$$\int d^3\mathbf{r}_i |\phi_i(\mathbf{r}_i) + \lambda f_i(\mathbf{r}_i)|^2 = 1 \quad (۵-۱۹)$$

یعنی تا مرتبهٔ اول برحسب λ داریم

$$\int d^3\mathbf{r}_i [\phi_i^*(\mathbf{r}_i) f_i(\mathbf{r}_i) + \phi_i(\mathbf{r}_i) f_i^*(\mathbf{r}_i)] = 0 \quad (۶-۱۹)$$

اکنون جمله‌های خطی برحسب λ ناشی از جاگذاری ۴-۱۹ در ۳-۱۹ را محاسبه می‌کنیم. جمله